

Application 1

Réponses fréquentielles – Sujet

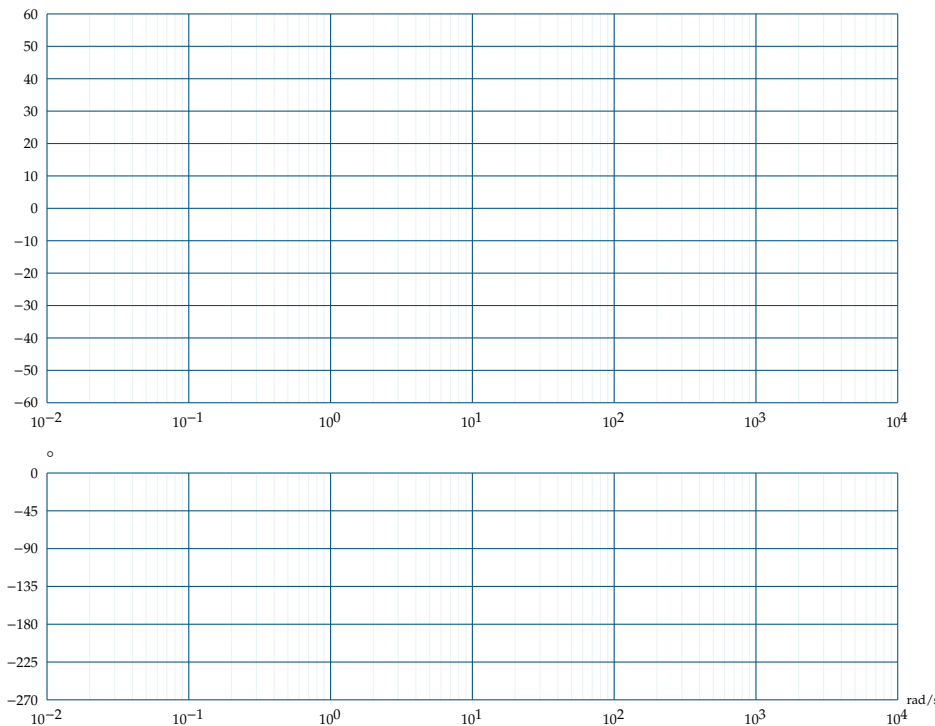
D'après Sébastien Grange.

Diagramme de Bode

11 SLCI

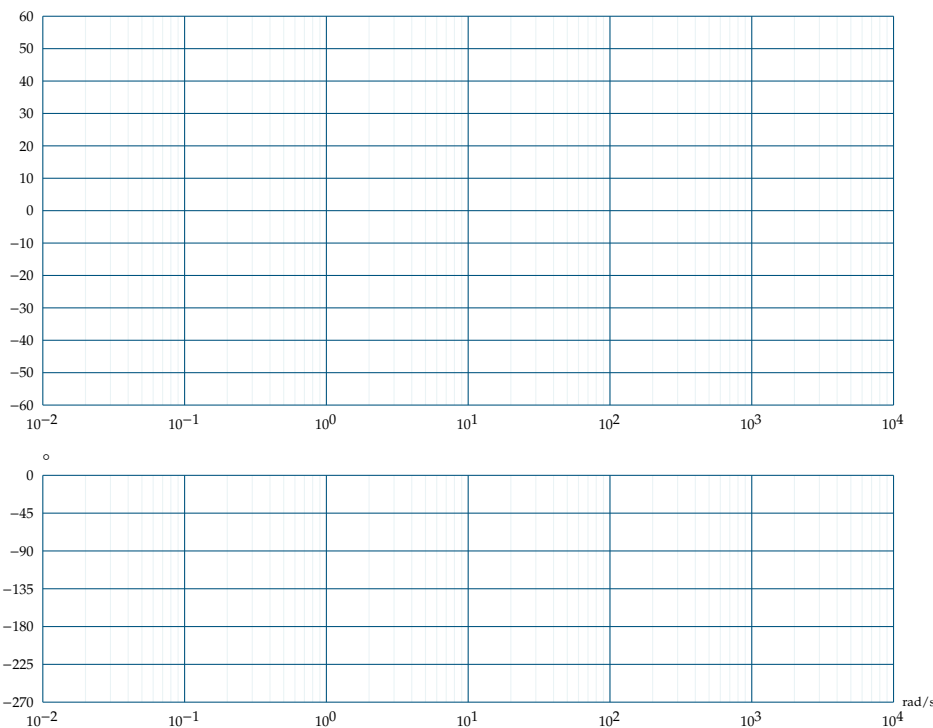
Question 1 Tracer les diagrammes de Bode réels et asymptotiques de la fonction de transfert suivante :

$$H(p) = \frac{0,6}{(p + 0,025)(p^2 + 0,2p + 1)}$$

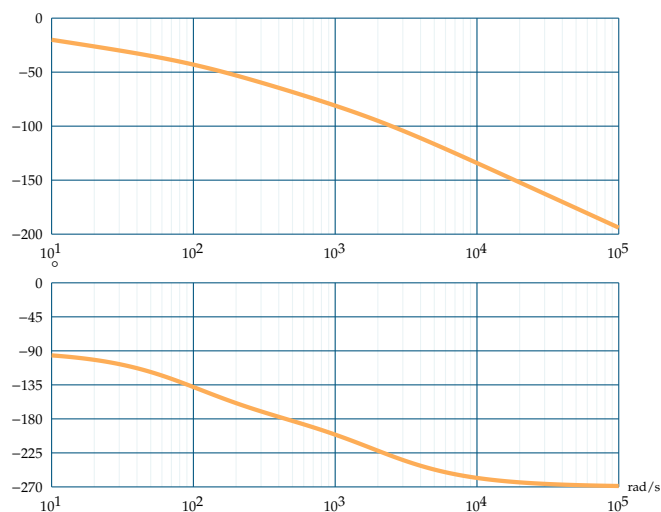


Question 2 Tracer les diagrammes de Bode réel et asymptotique de la fonction de transfert suivante :

$$H(p) = \frac{5(p + 60)}{p(p^2 + 5p + 4)}$$

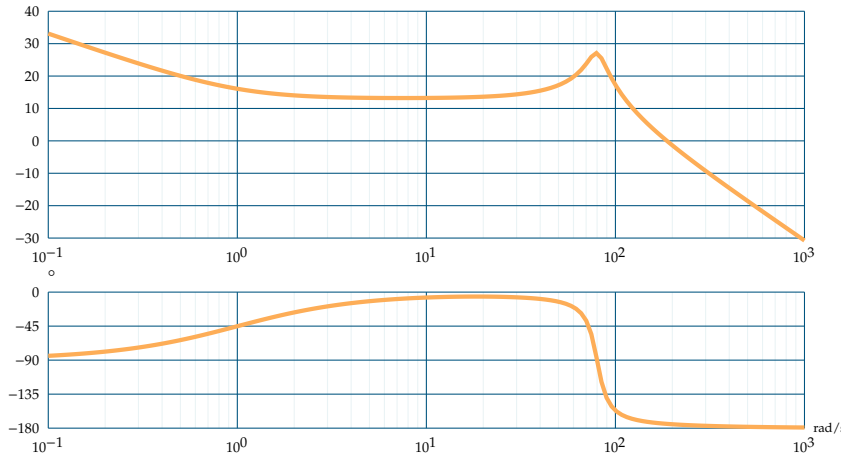


Question 3 Identifier la fonction de transfert représentée par le diagramme de Bode suivant. Vous justifierez notamment sa forme : $H(p) = \frac{K}{p(1 + T_1 p)(1 + T_2 p)}$. Donner les deux pôles dominants, en déduire une expression simplifiée de $H(p)$.



Question 4 On suppose que l'entrée du système est sinusoïdale : $e(t) = 3 \sin 300t$. Donner l'expression de la réponse en régime permanent à partir ce même diagramme de Bode.

Question 5 Identifier la fonction de transfert représentée par le diagramme de Bode suivant. La calculatrice est autorisée. On rappelle que pour une fonction de transfert du 2ème ordre, on a : $\text{Max}(G_{\text{dB}}) = 20 \log \frac{K}{2\xi\sqrt{1-\xi^2}}$.



Question 6 Déterminer graphiquement les marges de stabilité pour les quatre fonctions de transfert précédentes.

Réponse fréquentielle

Un capteur d'accélération de sensibilité S est utilisé dans la chaîne de retour d'un système asservi dont l'objectif est de contrôler l'accélération d'un plateau sur lequel est fixé ce capteur. Le moteur permettant la motorisation du plateau est connu par l'intermédiaire de sa fonction de transfert.

Première étude : $B(p) = 1$

On applique à l'entrée un échelon d'amplitude E_0 égale à 0,2 V.

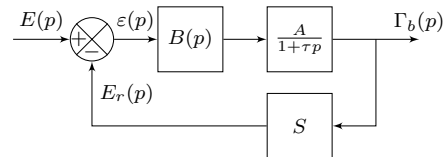
Question 7 Calculer la valeur de l'accélération en régime permanent. On voudrait une accélération égale à 20 g. Quelle doit être la tension de consigne ?

Question 8 La tension de consigne prend la forme suivante : $e(t) = 0,2 \sin(\omega t)$ avec $\omega = 10 \text{ rad s}^{-1}$. Déterminer $\omega_b(t)$ en régime permanent, en précisant l'amplitude et la phase.

Deuxième étude : $B(p) = \frac{1}{p}$

Question 9 Déterminer la fonction de transfert en boucle fermée de ce système. Identifier les différents paramètres de cette fonction. Calculer l'accélération en régime permanent suite à un échelon de consigne d'amplitude 0,2 V.

Question 10 Tracer le diagramme de Bode asymptotique de cette fonction de transfert.



- ▶ $A = 100 \text{ g m s}^{-2} \text{ V}^{-1}$;
- ▶ $\tau = 0,2 \text{ s}$ et $S = 10 \text{ g}^{-1} \cdot 10^{-3} / (\text{m/s}^2)$ où g est l'accélération de pesanteur;
- ▶ $E(p)$ est la transformée de Laplace de $e(t)$ la tension de consigne de cet asservissement;
- ▶ $\Gamma_b(p)$ la transformée de l'accélération $\gamma_b(t)$.



Application 1

Réponses fréquentielles – Corrigé

D'après Sébastien Grange.

Diagramme de Bode

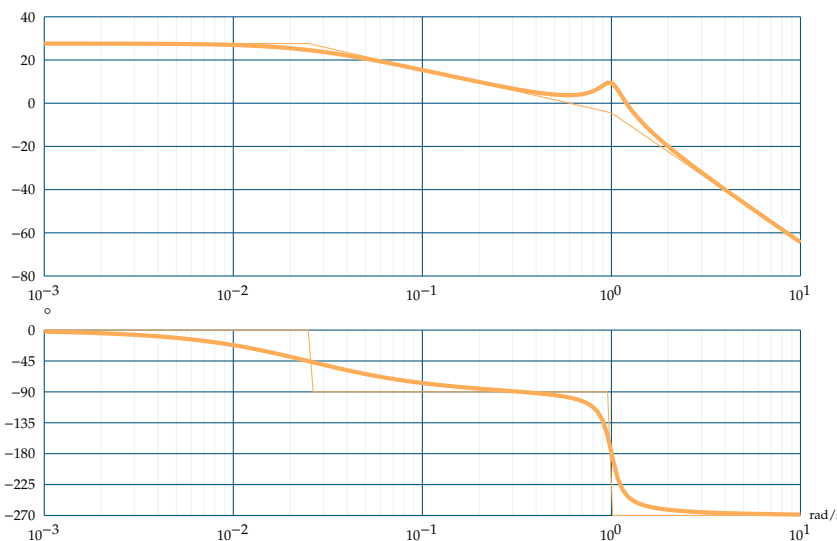
11 SLCI

Question 1 Tracer les diagrammes de Bode réels et asymptotiques de la fonction de transfert suivante :

$$H(p) = \frac{0,6}{(p + 0,025)(p^2 + 0,2p + 1)}$$

Correction

$$H(p) = \frac{0,6}{(p + 0,025)(p^2 + 0,2p + 1)} = \frac{24}{(1 + 40p) \left(1 + \frac{2 \cdot 0,1}{1} p + \frac{p^2}{1^2} \right)}$$



Question 2 Tracer les diagrammes de Bode réel et asymptotique de la fonction de transfert suivante :

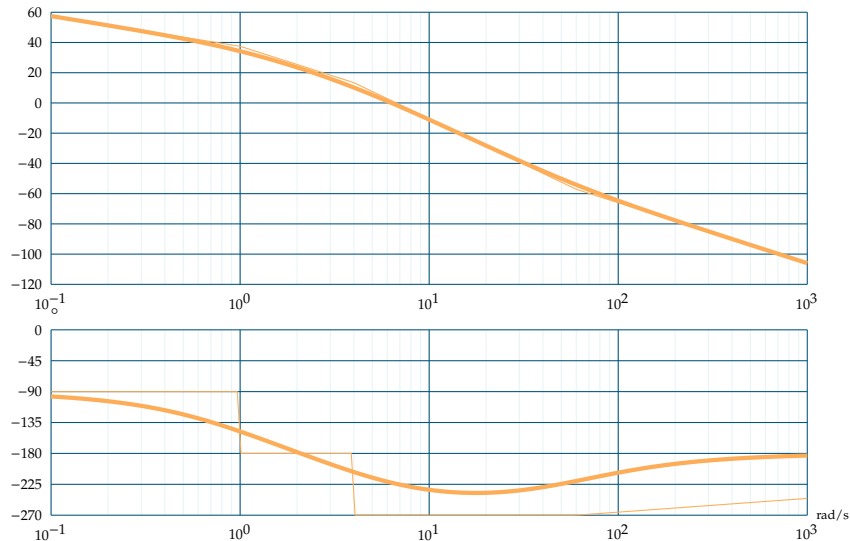
$$H(p) = \frac{5(p + 60)}{p(p^2 + 5p + 4)}$$

Correction

$$H(p) = \frac{5(p + 60)}{p(p^2 + 5p + 4)} = \frac{75(1 + 0,0167p)}{p(1 + (2 \cdot 1,25)/2p + p^2/2^2)} = \frac{75(1 + 0,0167p)}{p(1 + p)(1 + 0,25p)}$$

	1 rad/s		$\frac{1}{0,25} = 4$ rad/s	$\frac{1}{0,0167} = 60$ rad/s
$1 + 0,0167p$	0 dB/décade 0°	0 dB/décade 0°	0 dB/décade 0°	+20 dB/décade +90°
$\frac{1}{1+p}$	0 dB/décade	-20 dB/décade -90°	-20 dB/décade -90°	-20 dB/décade -90°
$\frac{1}{1+0,25p}$	0 dB/décade 0°	0 dB/décade 0°	-20 dB/décade -90°	-20 dB/décade -90°
$1/p$	-20 dB/décade -90°	-20 dB/décade -90°	-20 dB/décade -90°	-20 dB/décade -90°
$H(p)$	-20 dB/décade -90°	-40 dB/décade -180°	-60 dB/décade -270°	-40 dB/décade -180°

Positionnement du diagramme asymptotique de gain : en $\omega = << 1 \text{ rad s}^{-1}$, $H(p) \simeq \frac{75}{p}$. Ainsi pour $\omega \simeq 0,1 \text{ rad s}^{-1}$, $H_{dB}(0,1) = 20 \log(75/0,1) = 57 \text{ dB}$.



Question 3 Identifier la fonction de transfert représentée par le diagramme de Bode suivant. Vous justifierez notamment sa forme : $H(p) = \frac{K}{p(1 + T_1 p)(1 + T_2 p)}$. Donner les deux pôles dominants, en déduire une expression simplifiée de $H(p)$.

Correction

D'après le diagramme de Bode, on voit que la fonction de transfert possède un intégrateur puisque la phase débute à 90 degrés. De plus la phase diminue dans un premier temps de 90 degrés puis encore de 90 degrés ce qui justifie les 2 1^{er} ordres.

Pour identifier les constantes de temps, on va utiliser le fait que la phase d'un premier ordre passe par -45 degrés pour sa pulsation de coupure qui vaut $\frac{1}{\tau}$. Ici, il y a un intégrateur. On trouve donc les pulsations de coupure lorsque la phase vaut -135 degrés puis -225 degrés. On a : $1/T_1 \simeq 100$ et $1/T_2 \simeq 2000$ donc $T_1 = 0,01 \text{ s}$ et $T_2 = 0,0005 \text{ s}$.

Pour identifier le gain, on se place pour des pulsations faibles, ici $\omega = 0,1 \text{ rad/s}$. Pour ces pulsations, on sait que les gains des 1^{er} ordre valent environ $20 \log K$ et celui de l'intégrateur $20 \log(1/\omega)$. On a donc pour $\omega = 0,1 \text{ rad/s}$: $20 \log(K/0,1) \simeq -20$; $K \simeq 1$

$$\text{On a donc : } H(p) = \frac{1}{p(1 + 0.01p)(1 + 0.0005p)}.$$

Le pôle dominant est le pôle qui met le plus de temps à converger, c'est-à-dire celui qui a la constante de temps la plus grande, on a donc : $H(p) \simeq \frac{1}{p(1 + 0.01p)}$.

Question 4 On suppose que l'entrée du système est sinusoïdale : $e(t) = 3 \sin 300t$. Donner l'expression de la réponse en régime permanent à partir ce même diagramme de Bode.

Correction

On sait que la sortie sera également sinusoïdale, de même pulsation que l'entrée mais déphasée et d'amplitude différente : $s(t) = S_0 \sin(300t + \varphi)$.

Le diagramme de Bode nous donne le rapport de l'amplitude entre la sortie et l'entrée (courbe de gain) et le déphasage de la sortie par rapport à l'entrée (courbe de phase).

$$G_{dB}(\omega = 300 \text{ rad/s}) = 20 \log(S_0/E_0) = 20 \log(S_0/3).$$

On peut lire que : $G_{dB}(\omega = 300 \text{ rad/s}) \approx -60 \text{ dB}$ et donc $S_0 \approx 3 \cdot 10^{-3}$. D'après la courbe de phase, on peut lire : $\varphi(\omega = 300 \text{ rad/s}) = -175 \text{ degrés}$. On a donc : $s(t) = 3 \cdot 10^{-3} \sin(300t - 3,05)$. L'angle est à mettre en radians.

Question 5 Identifier la fonction de transfert représentée par le diagramme de Bode suivant. La calculatrice est autorisée. On rappelle que pour une fonction de transfert du 2ème ordre, on a : $\text{Max}(G_{dB}) = 20 \log \frac{K}{2\xi\sqrt{1-\xi^2}}$.

Correction

D'après le diagramme de Bode, on voit que la fonction de transfert possède un intégrateur puisque la phase débute à 90 degrés. Ensuite la phase augmente dans un premier temps de 90 degrés, ce qui signifie la présence d'un « 1er ordre » en numérateur. Puis la phase diminue de 180 degrés et le gain résonne ce qui justifie la présence d'un 2ème ordre avec un coefficient d'amortissement plus petit que $1/\sqrt{2}$.

$$H(p) = \frac{K(1+Tp)}{p(1+2\xi/\omega_0 p + p^2/(\omega_0^2))}$$

Pour identifier la constante de temps, on va utiliser le fait que la phase d'un « premier ordre » au numérateur passe par 45 degrés pour sa pulsation de coupure qui vaut $1/\tau$. Ici, il y a un intégrateur. On trouve donc la pulsation de coupure lorsque la phase vaut -45 degrés. On a : $1/T \approx 1$ et $T = 1 \text{ s}$.

Pour identifier la pulsation de coupure, on va utiliser le fait que la phase d'un 2ème ordre passe par -90 degrés pour sa pulsation de coupure qui vaut ω_0 . Ici, il y a un intégrateur et un « 1er ordre » au numérateur. On trouve donc la pulsation de coupure lorsque la phase vaut -90 degrés. On a : $\omega_0 \approx 80 \text{ rad/s}$.

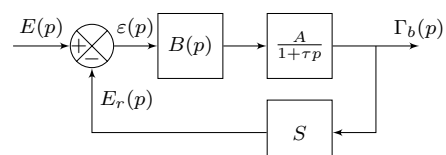
Pour identifier le coefficient d'amortissement, on va utiliser la résonnance. On a : $20 \log(1/(2\xi\sqrt{1-\xi^2})) \approx 13$ et $\xi \approx 0,11$.

Pour identifier le gain, on se place pour des pulsations faibles, ici $\omega = 0,1 \text{ rad/s}$. Pour ces pulsations, on sait que les gains des 1er ordre et du 2ème ordre valent environ $20 \log K$ et celui de l'intégrateur $20 \log(1/\omega)$. On a donc pour $\omega = 0,1 \text{ rad/s}$: $20 \log(K/0,1) \approx 33$ et $K \approx 4,5$.

Question 6 Déterminer graphiquement les marges de stabilité pour les quatre fonctions de transfert précédentes.

Réponse fréquentielle

Un capteur d'accélération de sensibilité S est utilisé dans la chaîne de retour d'un système asservi dont l'objectif est de contrôler l'accélération d'un plateau sur lequel est fixé ce capteur. Le moteur permettant la motorisation du plateau est connu par l'intermédiaire de sa fonction de transfert.



- $A = 100 \text{ g m s}^{-2} \text{ V}^{-1}$;
- $\tau = 0,2 \text{ s}$ et $S = 10 \text{ g}^{-1}$.

10⁻³/V/(m/s²) où g est l'accélération de pesanteur,

Première étude : $B(p) = 1$

On applique à l'entrée un échelon d'amplitude E_0 égale à 0,2 V.

Question 7 Calculer la valeur de l'accélération en régime permanent. On voudrait une accélération égale à 20 g. Quelle doit être la tension de consigne ?

Correction

$$\text{En calculant la FTBF on a } FTBF(p) = \frac{\frac{A}{1+\tau p}}{1 + \frac{AS}{1+\tau p}} = \frac{A}{1 + \tau p + AS(1 + \tau p)}.$$

$$\text{Par suite } \Gamma_b(p) = \frac{A}{1 + \tau p + AS(1 + \tau p)} \frac{E_0}{p}.$$

$$\text{On a donc } \lim_{t \rightarrow +\infty} \Gamma_b(t) = \lim_{p \rightarrow 0} p \frac{A}{1 + \tau p + AS(1 + \tau p)} \frac{E_0}{p} = \lim_{p \rightarrow 0} \frac{AE_0}{1 + \tau p + AS(1 + \tau p)} = \frac{AE_0}{1 + AS}.$$

$$\text{Pour } E_0 = 0,2 \text{ V, } \Gamma_f = \frac{100g \times 0,2}{1 + 100g \times 10 \times 10^{-3} g^{-1}} = 10 \text{ g.}$$

$$\text{On veut } \frac{AE_0}{1 + AS} = 20 \text{ g soit } E_0 = 20g \frac{1 + AS}{A} E_0 = 20g \frac{1 + 100 \times 10 \times 10^{-3}}{100g} = 0,4 \text{ g. Il faudrait donc } E_0 = 0,4 \text{ V.}$$

Question 8 La tension de consigne prend la forme suivante : $e(t) = 0,2 \sin(\omega t)$ avec $\omega = 10 \text{ rad s}^{-1}$. Déterminer $\omega_b(t)$ en régime permanent, en précisant l'amplitude et la phase.

Correction

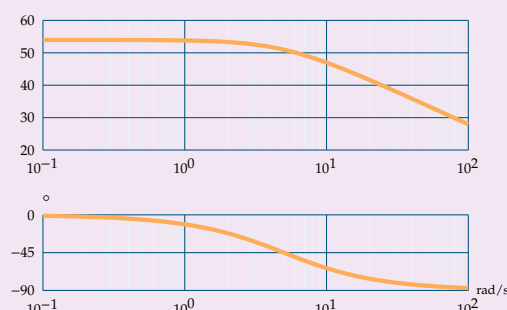
$$FTBF(p) = \frac{A}{1 + \tau p + AS(1 + \tau p)} = \frac{\frac{A}{1 + AS}}{1 + \tau p} \text{ en faisant l'application numérique, } FTBF(p) = \frac{50g}{1 + 0,2p}.$$

$$G_{\text{dB}}(\omega) = 20 \log(50g) - 20 \log \sqrt{1 + 0,2^2 \omega^2} \text{ et } G_{\text{dB}}(10) = 20 \log(50g) - 20 \log \sqrt{5} = 20 \log(10g\sqrt{5}) \simeq 47 \simeq 20 \log 223.$$

$$\varphi(\omega) = -\arctan 0,2\omega \text{ et } \varphi(10) = -\arctan 2 \simeq -63^\circ.$$

Au final $\omega_b(t) = 0,2 \times 223 \sin(\omega t - 63^\circ)$.

Pour information, on donne le diagramme de Bode de la FTBF.



Deuxième étude : $B(p) = \frac{1}{p}$.

Question 9 Déterminer la fonction de transfert en boucle fermée de ce système. Identifier les différents paramètres de cette fonction. Calculer l'accélération en régime permanent suite à un échelon de consigne d'amplitude 0,2 V.

Question 10 Tracer le diagramme de Bode asymptotique de cette fonction de transfert.



TD 1

Banc d'essai BTP- Sujet

Concours CCINP – TSI 2015.

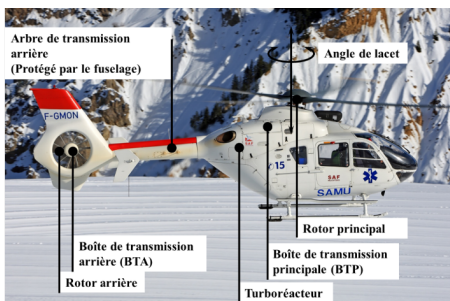
02 SLCI 03 SLCI 03 SLCI

Mise en situation

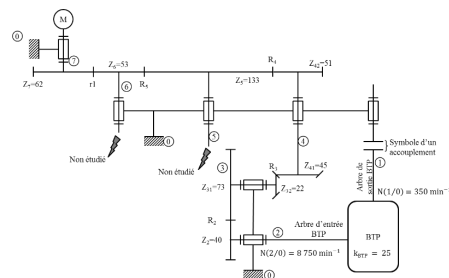
Airbus Helicopters commercialise des hélicoptères civils et militaires. Le déplacement des hélicoptères est assuré par un rotor principal permettant la sustentation et la translation de l'appareil. Un rotor arrière permet de compenser le couple de réaction engendré par le rotor principal et de contrôler les mouvements de lacet de l'appareil (figure 1a). La puissance est délivrée par deux turboréacteurs (certains hélicoptères ne sont équipés que d'un turboréacteur). Ces turboréacteurs entraînent en rotation une boîte de transmission principale (BTP) qui elle-même entraîne d'une part le rotor principal et d'autre part le rotor arrière, par l'intermédiaire d'un arbre de transmission et d'une boîte de transmission arrière (BTA). La BTP assure aussi l'entraînement d'une série d'accessoires permettant le fonctionnement de l'appareil (alternateur, pompe hydraulique ...). Pour chaque association hélicoptère - turboréacteur, un banc d'essai permet de vérifier que la BTP répond au cahier des charges. La figure 1b présente la structure du banc d'essai.

Objectif

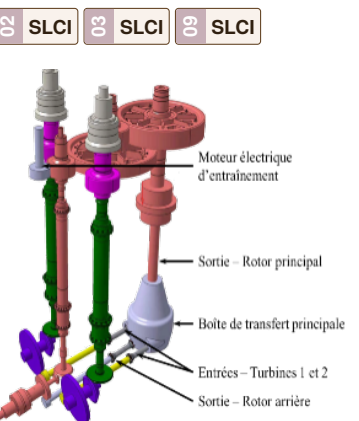
Valider Req 1.1.1.



(a) Hélicoptère.



(b) Structure du banc d'essai.



«requirement»
Precision de la régulation
Id = "1.1.1"
Text = "L'écart statique de la régulation en vitesse doit être nul. "

FIGURE 1 – Hélicoptère et banc d'essai

Le moteur à courant continu

On note :

- $u(t)$: la tension appliquée aux bornes de l'induit;

- $i(t)$: le courant absorbé par l'induit;
- $e(t)$: la force contre-électromotrice;
- $\omega_m(t)$: la vitesse de rotation de l'arbre moteur;
- $c_m(t)$: le couple moteur;
- $c_r(t)$: le couple résistant sur l'arbre moteur dû à la génération d'un couple résistant en sortie de BTP;
- K_c : la constante de couple définie telle que $c_m(t) = K_c i(t)$ (équation 1);
- K_e : la constante de force contre-électromotrice définie telle que $e(t) = K_e \omega_m(t)$ (équation 2).

Le banc d'essai est équipé d'un dispositif permettant de générer un couple résistant sur le rotor de sortie de la BTP. Cela permet de simuler les actions aérodynamiques sur les pales. Il faut donc évaluer l'impact de ce couple sur la vitesse du moteur. La modélisation adoptée pour le moteur à courant continu est celle de la figure 2.

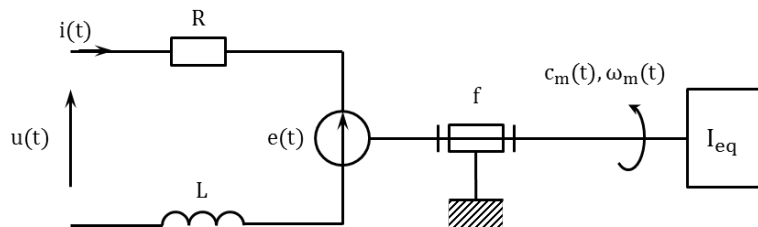


FIGURE 2 – Schéma équivalent du moteur à courant continu.

Hypothèses :

- le comportement de chacun des composants sera considéré comme linéaire, continu et invariant;
- les conditions de Heaviside sont considérées comme vérifiées;
- on note p la variable de Laplace. La transformée de Laplace d'une fonction temporelle $f(t)$ sera notée $F(p)$ (la transformée de $\omega(t)$ sera notée $\Omega(p)$).

Modélisation de l'asservissement en vitesse

Hypothèses :

- on néglige l'inductance du moteur à courant continu ainsi que l'effet du coefficient de frottement;
- on fait l'hypothèse que $K_c = K_e = K$;
- pour simplifier l'étude, la boucle de courant n'a pas été modélisée.

Le schéma-blocs de l'asservissement en vitesse du moteur à courant continu est donné sur la figure 3.

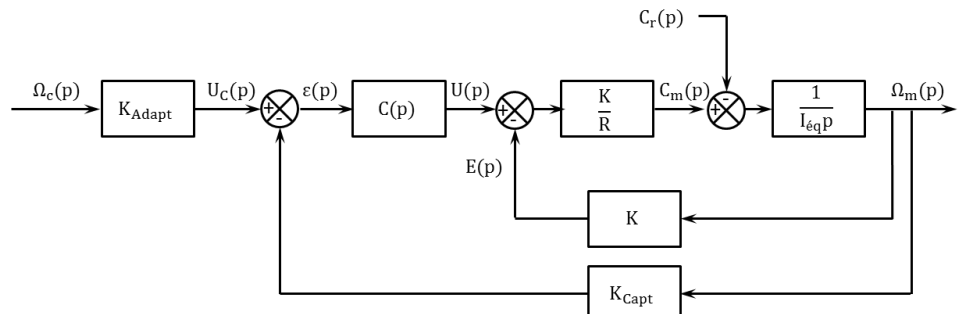


FIGURE 3 – Régulation en vitesse du banc d'essai.

Question 1 Quelle solution technologique peut-on utiliser pour le capteur situé en boucle de retour ? Comment déterminer la valeur du gain K_{Adapt} ?

Question 2 Exprimer $\Omega_m(p)$ en fonction de $\Omega_c(p)$ et $C_r(p)$ et des différentes constantes.

À une fréquence de rotation de 350 min^{-1} en sortie de BTP correspond une consigne de fréquence de rotation du moteur de 1928 min^{-1} soit environ 202 rad/s . Le couple résistant ramené à l'arbre moteur est évalué à 990 Nm . On soumet donc le système à un échelon de consigne d'amplitude 202 rad/s et à un couple résistant de 990 Nm .

Question 3 Après avoir exprimé la consigne $\Omega_c(p)$ puis le couple résistant $C_r(p)$, calculer sous forme littérale l'écart statique du système. Conclure vis-à-vis du cahier des charges.

Question 4 Quel intérêt peut présenter l'utilisation d'un correcteur intégral de gain K_I de la forme $C(p) = K_I/p$?

Question 5 En conclusion, en utilisant le correcteur précédent, l'asservissement proposé permet-il de tenir la consigne de vitesse lorsqu'un couple résistant est appliqué à l'arbre de sortie de la BTP ? L'exigence 1.1.1 est-elle vérifiée ?

Éléments de correction

1. $K_{\text{Adapt}} = K_{\text{Capt}}$.
2. $K_1 = \frac{K_{\text{Adapt}} K_P}{K + K_P K_{\text{Capt}}}$
et $\tau_1 = \frac{R I_{\text{eq}}}{K^2 + K K_P K_{\text{Capt}}}$,
- $K_2 = \frac{R}{K(K + K_P K_{\text{Capt}})}$ et
 $\tau_2 = \tau_1 = \frac{R I_{\text{eq}}}{K(K + K_P K_{\text{Capt}})}$ et
 $\Omega_m(p) = H_1(p)\Omega_c(p) + H_2(p)C_r(p)$.
3. $\varepsilon_S = (K_{\text{Adapt}} - K_{\text{Capt}} K_1) \Omega_{c0} + K_{\text{Capt}} K_2 C_{r0}$.
4. On montre que l'écart statique est annulé.
5. $\varepsilon = 0$.





TD 1

Banc d'essai BTP- Corrigé

Concours CCINP – TSI 2015.

02 SLCI 03 SLCI 03 SLCI

Mise en situation

Objectif

Valider Req 1.1.1.

Le moteur à courant continu

Modélisation de l'asservissement en vitesse

Question 1 Quelle solution technologique peut-on utiliser pour le capteur situé en boucle de retour? Comment déterminer la valeur du gain K_{Adapt} ?

Correction

Il s'agit de réaliser un asservissement en fréquence de rotation. On pourrait utiliser une génératrice tachymétrique.

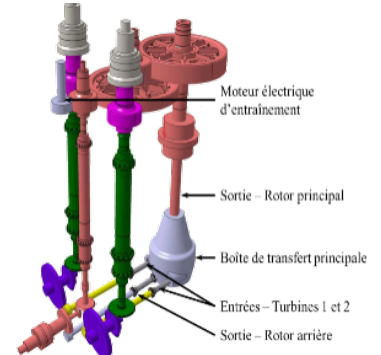
Afin d'avoir un asservissement précis ($\varepsilon(p) = 0$ lorsque $\Omega_c(p) = \Omega(p)$), on prend $K_{\text{Adapt}} = K_{\text{Capt}}$.

Hypothèse 1 : on considère que $C_r(p) = 0$ et $\Omega_c(p) \neq 0$.

Question 2 Déterminer la fonction de transfert en boucle fermée $H_m(p) = (\Omega_m(p))/U(p)$ puis la fonction de transfert en boucle fermée $H_1(p) = (\Omega_m(p))/(\Omega_C(p))$. On considère que $C(p) = K_p$, K_p étant constant. Mettre $H_1(p)$ sous la forme $K_1/(1 + \tau_1 p)$ où on explicitera les valeurs de K_1 et τ_1 .

Correction

$$H_m(p) = \frac{\Omega_m(p)}{U(p)} = \frac{\frac{K}{RI_{\text{eq}}p}}{1 + \frac{K^2}{RI_{\text{eq}}p}} = \frac{K}{RI_{\text{eq}}p + K^2} = \frac{1/K}{1 + \frac{RI_{\text{eq}}}{K^2}p}$$



«requirement»
Précision de la régulation

Id = "1.1.1"
Text = "L'écart statique de la régulation en vitesse doit être nul."

$$H_1(p) = \frac{\Omega_m(p)}{\Omega_c(p)} = K_{\text{Adapt}} \frac{\frac{K}{RI_{\text{eq}}p + K^2} C(p)}{1 + \frac{K}{RI_{\text{eq}}p + K^2} C(p) K_{\text{Capt}}} = \frac{K_{\text{Adapt}} K C(p)}{RI_{\text{eq}}p + K^2 + KC(p) K_{\text{Capt}}}$$

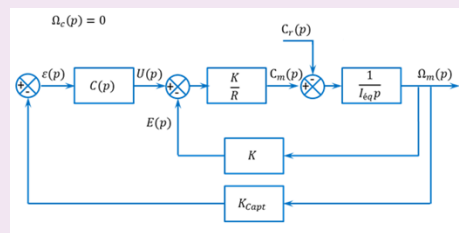
$$H_1(p) = \frac{K_{\text{Adapt}} K K_P}{RI_{\text{eq}}p + K^2 + KK_P K_{\text{Capt}}} = \frac{\frac{K_{\text{Adapt}} K_P}{K + K_P K_{\text{Capt}}}}{\frac{RI_{\text{eq}}}{K^2 + KK_P K_{\text{Capt}}} p + 1} = \frac{K_1}{1 + \tau_1 p}$$

Soit par identification : $K_1 = \frac{K_{\text{Adapt}} K_P}{K + K_P K_{\text{Capt}}}$ et $\tau_1 = \frac{RI_{\text{eq}}}{K^2 + KK_P K_{\text{Capt}}}$.

Hypothèse 2 : on considère que $\Omega_C(p) = 0$ et que $C_r(p) \neq 0$.

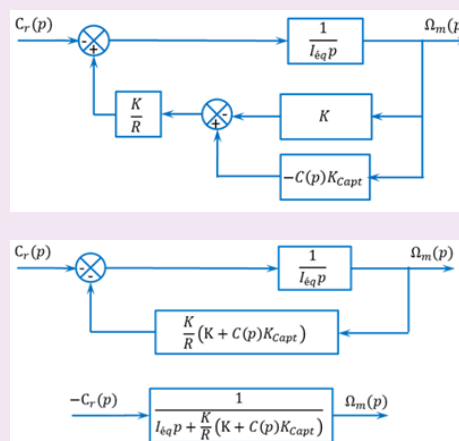
Question 3 Retracer sur la copie le schéma bloc en tenant compte de ces hypothèses.

Correction



Question 4 Déterminer la fonction de transfert en boucle fermée $H_2(p) = (\Omega_m(p))/(C_r(p))$. On considère que $C(p) = K_P$, K_P étant constante. Mettre $H_2(p)$ sous la forme $-K_2/(1 + \tau_2 p)$ où on explicitera les valeurs de K_2 et τ_2 .

Correction



$$\text{On a donc : } H_2(p) = \frac{\Omega_m(p)}{C_r(p)} = -\frac{1}{\frac{K}{R} \left(K + K_P K_{\text{Capt}} \right) + I_{\text{eq}} p} = -\frac{\frac{R}{K} \left(K + K_P K_{\text{Capt}} \right)}{1 + \frac{R I_{\text{eq}}}{K \left(K + K_P K_{\text{Capt}} \right)} p}$$

$$= -\frac{K_2}{1 + \tau_2 p} \text{ Soit par identification : } K_2 = \frac{R}{K \left(K + K_P K_{\text{Capt}} \right)} \text{ et } \tau_2 = \tau_1 = \frac{R I_{\text{eq}}}{K \left(K + K_P K_{\text{Capt}} \right)}.$$

Hypothèse 3 : on considère maintenant que $\Omega_c(p) \neq 0$ et que $C_r(p) \neq 0$.

Question 5 Exprimer $\Omega_m(p)$ en fonction de $\Omega_c(p)$ et $C_r(p)$ et des différentes constantes.

Question 6 En utilisant le théorème de superposition, exprimer $\Omega_m(p)$ en fonction de $\Omega_c(p)$ et $C_r(p)$ et des différentes constantes.

Correction

Par superposition on a : $\Omega_m(p) = H_1(p)\Omega_c(p) + H_2(p)C_r(p)$.

À une fréquence de rotation de 350 min^{-1} en sortie de BTP correspond une consigne de fréquence de rotation du moteur de 1928 min^{-1} soit environ 202 rad/s . Le couple résistant ramené à l'arbre moteur est évalué à 990 Nm . On soumet donc le système à un échelon de consigne d'amplitude 202 rad/s et à un couple résistant de 990 Nm .

Question 7 Après avoir exprimé la consigne $\Omega_c(p)$ puis le couple résistant $C_r(p)$, calculer sous forme littérale l'écart statique du système. Conclure vis-à-vis du cahier des charges.

Correction

On a, pour des échelons de consignes : $\Omega_c(p) = \frac{\Omega_{c0}}{p}$ avec $\Omega_{c0} = 202 \text{ rad/s}$ et $C_r(p) = \frac{C_{r0}}{p}$ avec $C_{r0} = 990 \text{ Nm}$.

L'écart statique ε_S s'écrit en sortie du comparateur :

$$\varepsilon_S = \lim_{t \rightarrow \infty} \varepsilon(t) = \lim_{p \rightarrow 0} p \varepsilon(p) = \lim_{p \rightarrow 0} p(K_{\text{Adapt}}\Omega_c(p) - K_{\text{Capt}}\Omega_m(p)) = \lim_{p \rightarrow 0} \left(p(K_{\text{Adapt}}\Omega_c(p) - K_{\text{Capt}}H_1(p)\Omega_c(p) - K_{\text{Capt}}H_2(p)C_r(p)) \right)$$

$$\varepsilon_S = \lim_{p \rightarrow 0} p \left(K_{\text{Adapt}} \frac{\Omega_{c0}}{p} - K_{\text{Capt}}K_1 \frac{\Omega_{c0}}{p} + K_{\text{Capt}}K_2 \frac{C_{r0}}{p} \right)$$

$$\varepsilon_S = \left(K_{\text{Adapt}} - K_{\text{Capt}}K_1 \right) \Omega_{c0} + K_{\text{Capt}}K_2 C_{r0}$$

L'écart statique ne pourra pas être nul (exigence 1.1.1 du cahier des charges non vérifiée).

Question 8 Quel intérêt peut présenter l'utilisation d'un correcteur intégral de gain K_I de la forme $C(p) = K_I/p$?

Correction

En choisissant $K_{\text{Adapt}} = K_{\text{Capt}}$, l'écart statique pourra être réduit à condition d'avoir un gain K_P important $K_1 \rightarrow 1$ et $K_2 \rightarrow 0$, mais pas trop pour ne pas rendre le système instable. Avec un correcteur intégral, le système devient de classe 1 et l'écart statique est annulé.

Question 9 En conclusion, en utilisant le correcteur précédent, l'asservissement proposé permet-il de tenir la consigne de vitesse lorsqu'un couple résistant est appliqué à l'arbre de sortie de la BTP ? L'exigence 1.1.1 est-elle vérifiée ?

Correction

En reprenant le raisonnement de la question **, et en remplaçant $C(p)$ par K_I/p dans

$$\text{les expressions de } H_1(p) \text{ et } H_2(p) : \lim_{p \rightarrow 0} H_1(p) = \lim_{p \rightarrow 0} K_{\text{Adapt}} \frac{\frac{K}{RI_{\text{eq}}p + K^2} \frac{K_I}{p}}{1 + \frac{K}{RI_{\text{eq}}p + K^2} \frac{K_I}{p} K_{\text{Capt}}} = \frac{K_{\text{Adapt}}}{K_{\text{Capt}}}.$$

$$\lim_{p \rightarrow 0} H_2(p) = \lim_{p \rightarrow 0} -\frac{1}{\frac{K}{R} \left(K + \frac{K_I}{p} K_{\text{Capt}} \right) + I_{\text{eq}}p} = 0$$

$$\varepsilon_S = \lim_{p \rightarrow 0} p \left(K_{\text{Adapt}} \Omega_c(p) - K_{\text{Capt}} H_1(p) \Omega_c(p) - K_{\text{Capt}} H_2(p) C_r(p) \right)$$

$$\varepsilon_S = \lim_{p \rightarrow 0} K_{\text{Adapt}} \Omega_{c0} - K_{\text{Capt}} K_{\text{Adapt}} / K_{\text{Capt}} \Omega_{c0} - K_{\text{Capt}} 0 C_r 0 = 0$$

Dans ce cas, l'application d'un couple perturbateur n'a donc pas d'influence sur l'écart statique. La fréquence de rotation du rotor peut être temporairement impactée, mais au bout d'un laps de temps, l'écart statique tend vers 0. L'exigence 1.1.1 est donc vérifiée.



TD 2

Assistance pour le maniement de charges dans l'industrie– Sujet

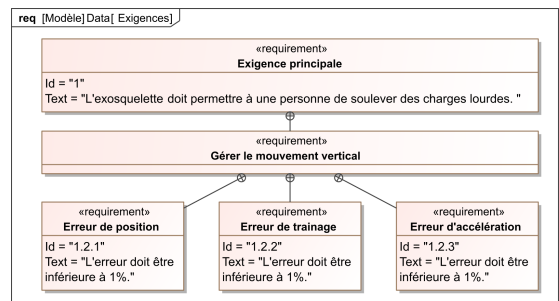
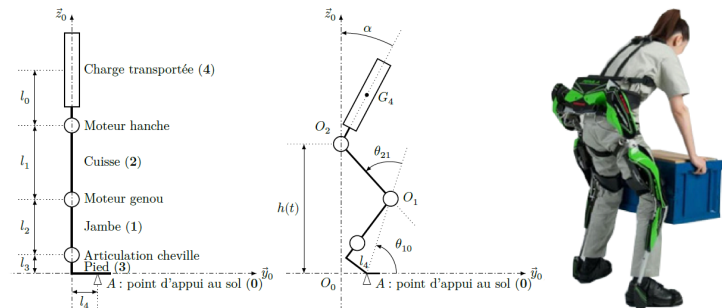
Concours Centrale Supelec TSI 2017.

08 SLCI 08 PERF

Mise en situation

L'exosquelette est un appareil qui apporte à un être humain des capacités qu'il ne possède pas ou qu'il a perdues à cause d'un accident. Ce type d'appareil peut permettre à une personne de soulever des charges lourdes et diminuer considérablement les efforts à fournir sans la moindre fatigue. Après avoir revêtu un exosquelette adapté à sa morphologie et à sa taille, l'utilisateur peut faire ses mouvements en bénéficiant d'une grande fluidité.

On donne dans la figure ci-dessous, la modélisation cinématique retenue dans le but de simuler le comportement de l'exosquelette.

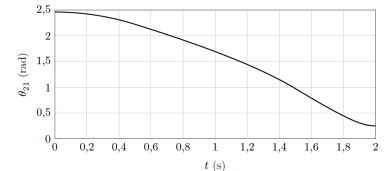


Gestion du mouvement vertical

Objectif

Déterminer les réglages de la commande asservie des moteurs genou droit et gauche permettant d'assurer un mouvement vertical ne déséquilibrant pas le porteur de l'exosquelette puis valider les performances attendues listées par le cahier des charges.

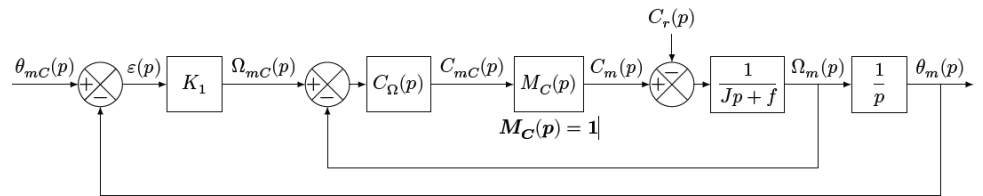
La demande de mouvement de l'utilisateur de l'exosquelette se traduit par une consigne de vitesse de type trapézoïdal pour le mouvement vertical. À l'aide du modèle articulaire inverse cette demande se traduit finalement en consigne de position des axes moteur genou gauche et droit. Cette consigne de position du moteur représentée à la figure suivante montre des parties qui peuvent être approchées par des constantes, des rampes et des paraboles.



Le premier modèle défini figure suivante est adopté pour chaque axe.

Notations :

- ▶ $\theta_{mC}(p)$ consigne de position de l'axe moteur (variable temporelle : $\theta_{mC}(t)$ en rad);
- ▶ $\theta_m(p)$ position de l'axe moteur (variable temporelle : $\theta_m(t)$ en rad);
- ▶ $C_{mC}(p)$ consigne de couple moteur (variable temporelle : $c_{mC}(t)$ en Nm);
- ▶ $C_m(p)$ couple moteur (variable temporelle : $c_m(t)$ en Nm);
- ▶ $C_r(p)$ couple résistant perturbateur (variable temporelle : $c_r(t)$ en Nm);
- ▶ K_1 gain proportionnel du correcteur de l'asservissement de position (en s^{-1});
- ▶ $\Omega_{mC}(p)$ consigne de vitesse de l'axe moteur (variable temporelle : $\Omega_{mC}(t)$ en rad s^{-1});
- ▶ $\Omega_m(p)$ vitesse de l'axe moteur (variable temporelle : $\Omega_m(t)$ en rad s^{-1});
- ▶ $C_\Omega(p)$ correcteur de l'asservissement de vitesse;
- ▶ $M_C(p)$ modélise la boucle d'asservissement en couple de la machine électrique, considérée parfaite au vu de sa dynamique par rapport aux autres boucles : $M_C(p) = 1$;
- ▶ J moment d'inertie de l'ensemble en mouvement, rapporté au niveau de l'axe moteur;
- ▶ f coefficient de frottements visqueux équivalent pour l'ensemble en mouvement.



Le correcteur est de la forme : $C_\Omega(p) = K_2 \left(\frac{Jp + f}{Jp} \right)$.

En utilisant le schéma-blocs précédent, on peut constater que :

- ▶ l'écart est défini par la variable $\varepsilon(t) = \theta_{mC}(t) - \theta_m(t)$;
- ▶ l'erreur entre l'entrée et la sortie est définie par la variable $\mu(t) = \theta_{mC}(t) - \theta_m(t)$.

Étant donné que le modèle utilisé est à retour unitaire, l'écart $\varepsilon(t)$ est égal à l'erreur $\mu(t)$.

Hypothèse

Le couple résistant évolue lentement au regard de la dynamique de l'asservissement, ce qui permet de considérer pour la suite de l'étude $C_r(p) = 0$.

Question 1 Déterminer la grandeur physique de la consigne et la grandeur physique asservie à partir du modèle multiphysique présenté plus bas et préciser leurs unités de base dans le système international d'unités (SI).

Question 2 Exprimer $H_\Omega(p) = \frac{\Omega_m(p)}{\Omega_{mC}(p)}$ en fonction de J , K_2 et p .

Question 3 Exprimer $\varepsilon(p)$ en fonction de $\theta_{mC}(p)$, $H_\Omega(p)$, K_1 et p .

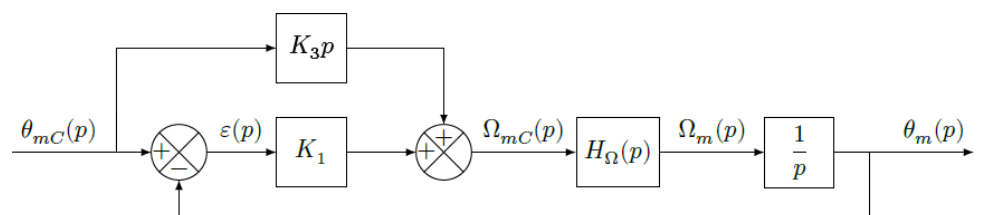
Méthode –

On peut définir l'erreur de position ε_p par $\varepsilon_p = \lim_{t \rightarrow +\infty} \varepsilon(t) = \lim_{p \rightarrow 0} p \varepsilon(p)$ avec $\theta_{mC}(p) = \frac{1}{p}$ (entrée échelon).

Question 4 Déterminer l'erreur de position ε_p puis l'erreur de traînage ε_v . Conclure sur la valeur de K_1 pour satisfaire à l'exigence d'erreur en traînage.

Question 5 Déterminer l'erreur en accélération et conclure quant au respect du cahier des charges.

Pour satisfaire l'exigence d'une erreur en accélération inférieure à 1%, le second modèle avec anticipation de la vitesse est adopté avec $H_\Omega(p) = \frac{1}{1 + Tp}$ et $T = 33$ ms.



Question 6 Exprimer $\varepsilon(p)$ en fonction de $\theta_{mC}(p)$, T , K_1 , K_3 et p .

Le second modèle avec anticipation de la figure précédente n'a pas d'incidence sur la valeur de l'erreur de position.

Question 7 Exprimer l'erreur de traînage et déterminer la valeur de K_3 permettant l'annuler cette erreur.

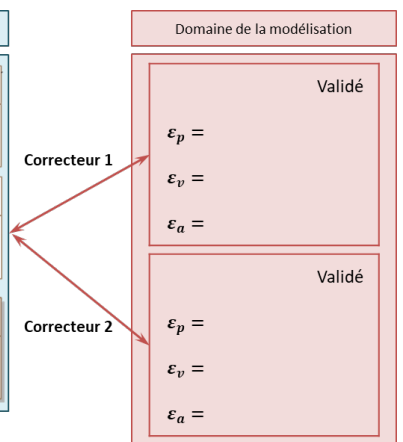
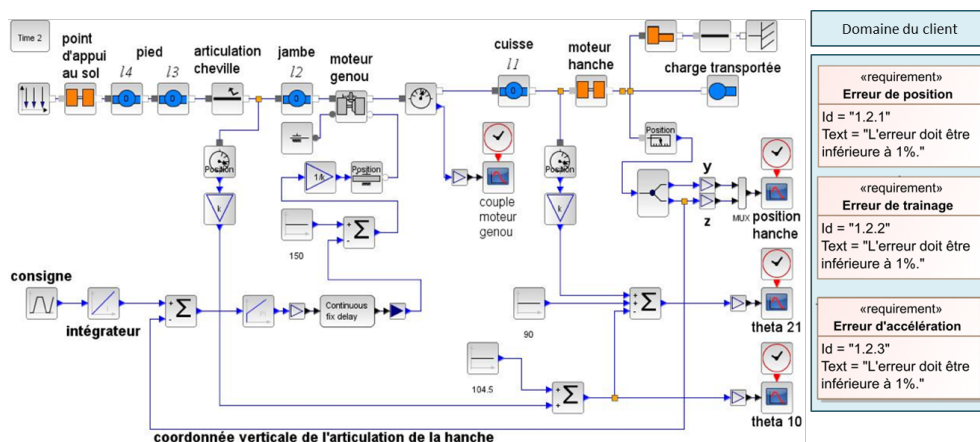
Question 8 Exprimer et déterminer l'erreur d'accélération en prenant les valeurs de K_3 et de K_1 déterminées précédemment. Conclure quant au respect du cahier des charges.

Synthèse

Question 9 En utilisant la figure ci-dessous, conclure sur les actions qui ont mené à une validation du cahier des charges.

Éléments de correction

1. Asservissement en position.
2. $H_\Omega(p) = \frac{K_2}{Jp + K_2}$.
3. $\varepsilon(p) = \frac{\theta_{mC}(p)}{1 + H_\Omega(p) \frac{K_1}{p}}$
4. $\varepsilon(p) = 0$, $\varepsilon_v = \frac{1}{K_1}$ et $K_1 > 100$.
5. $\varepsilon_a = \infty$.
6. $\varepsilon(p) = \theta_{mC}(p) \frac{p(1 + Tp - K_3)}{p(1 + Tp) + K_1}$.
7. $\varepsilon_v = \frac{1 - K_3}{K_1}$, $K_3 = 1$.
8. $\varepsilon_a = \frac{33 \times 10^{-3}}{100}$. Le cahier des charges est donc validé.





TD 2

Assistance pour le maniement de charges dans l'industrie– Corrigé

Concours Centrale Supelec TSI 2017.

09 SLCI 05 PERF

Mise en situation

Gestion du mouvement vertical

Objectif

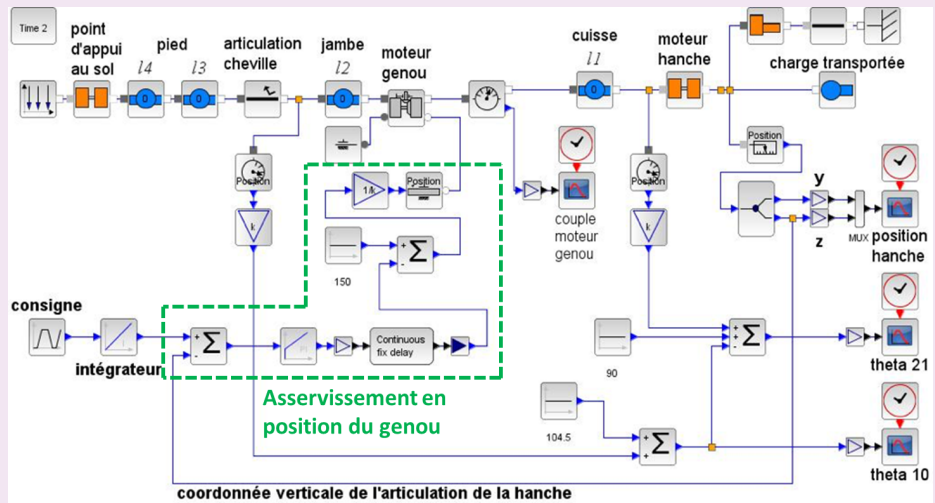
Déterminer les réglages de la commande asservie des moteurs genou droit et gauche permettant d'assurer un mouvement vertical ne déséquilibrant pas le porteur de l'exosquelette puis valider les performances attendues listées par le cahier des charges.



Question 1 Déterminer la grandeur physique de la consigne et la grandeur physique asservie à partir du modèle multiphysique présenté plus bas et préciser leurs unités de base dans le système international d'unités (SI).

Correction

Il s'agit d'un asservissement en position.



Question 2 Exprimer $H_\Omega(p) = \frac{\Omega_m(p)}{\Omega_{mC}(p)}$ en fonction de J , K_2 et p .

Correction

En faisant l'hypothèse que le couple perturbateur est nul, on a : $H_\Omega(p) = \frac{\Omega_m(p)}{\Omega_{mC}(p)} = \frac{C_\Omega(p)M_C(p)\frac{1}{Jp+f}}{1+C_\Omega(p)M_C(p)\frac{1}{Jp+f}}$. En conséquences : $H_\Omega(p) = \frac{K_2}{Jp+K_2} = \frac{1}{\frac{Jp}{CK_2} + 1}$.

Question 3 Exprimer $\varepsilon(p)$ en fonction de $\theta_{mC}(p)$, $H_\Omega(p)$, K_1 et p .

Correction

D'une part, $\varepsilon(p) = \theta_{mC}(p) - \theta_m(p)$. D'autre part, $\theta_m(p) = H_\Omega(p)\frac{K_1}{p}\varepsilon(p)$. Par suite, $\varepsilon(p) = \theta_{mC}(p) - H_\Omega(p)\frac{K_1}{p}\varepsilon(p) \Leftrightarrow \varepsilon(p)\left(1 + H_\Omega(p)\frac{K_1}{p}\right) = \theta_{mC}(p)$. En conséquences, $\varepsilon(p) = \frac{\theta_{mC}(p)}{1 + H_\Omega(p)\frac{K_1}{p}}$.

Question 4 Déterminer l'erreur de position ε_p puis l'erreur de traînage ε_v . Conclure sur la valeur de K_1 pour satisfaire à l'exigence d'erreur en traînage.

Correction

On a :

$$\blacktriangleright \varepsilon_p = \lim_{t \rightarrow \infty} \varepsilon(t) = \lim_{p \rightarrow 0} p\varepsilon(p) = \lim_{p \rightarrow 0} p \frac{1}{1 + H_\Omega(p)\frac{K_1}{p}} \frac{1}{p} = \lim_{p \rightarrow 0} \frac{1}{1 + \frac{1}{\frac{Jp}{CK_2} + 1} \frac{1}{p}} = 0$$

(ce qui était prévisible pour un système de classe 1);

$$\begin{aligned} \blacktriangleright \varepsilon_v &= \lim_{t \rightarrow \infty} \varepsilon(t) = \lim_{p \rightarrow 0} p\varepsilon(p) = \lim_{p \rightarrow 0} p \frac{1}{1 + H_\Omega(p)\frac{K_1}{p}} \frac{1}{p^2} = \lim_{p \rightarrow 0} \frac{1}{1 + \frac{1}{\frac{Jp}{CK_2} + 1} \frac{1}{p}} \\ &= \lim_{p \rightarrow 0} \frac{1}{p + \frac{1}{\frac{Jp}{CK_2} + 1} K_1} = \frac{1}{K_1} \text{ (ce qui était prévisible pour un système de classe 1 et} \\ &\text{de gain } K_1 \text{ en BO).} \end{aligned}$$

Ainsi, pour avoir une erreur de traînage inférieure à 1%, il faut $\frac{1}{K_1} < 0,01$ et $K_1 > 100$.

Question 5 Déterminer l'erreur en accélération et conclure quant au respect du cahier des charges.

Correction

En raisonnant de même, on a : $\varepsilon_a = \lim_{t \rightarrow \infty} \varepsilon(t) = \lim_{p \rightarrow 0} p\varepsilon(p) = \lim_{p \rightarrow 0} p \frac{1}{1 + H_\Omega(p)\frac{K_1}{p}} \frac{1}{p^3}$

$$= \lim_{p \rightarrow 0} \frac{1}{1 + \frac{1}{\frac{Jp}{CK_2} + 1} \frac{1}{p}} \frac{1}{p^2} = 0 = \lim_{p \rightarrow 0} \frac{1}{p^2 + \frac{p}{\frac{Jp}{CK_2} + 1} K_1} = \infty \text{ (ce qui était prévisible pour un système de classe 1).}$$

Ainsi, le correcteur choisi ne permet pas de vérifier le cahier des charges.

Question 6 Exprimer $\varepsilon(p)$ en fonction de $\theta_{mC}(p)$, T , K_1 , K_3 et p .

Correction

En utilisant le schéma-blocs, on a :

- $\varepsilon(p) = \theta_{mC}(p) - \theta_m(p);$
- $\Omega_{mC}(p) = K_3 p \theta_{mC}(p) + K_1 \varepsilon(p);$
- $\theta_m(p) = \Omega_{mC}(p) \frac{1}{p} \frac{1}{1+Tp}.$

$$\text{On a donc : } \varepsilon(p) = \theta_{mC}(p) - \Omega_{mC}(p) \frac{1}{p} \frac{1}{1+Tp} = \theta_{mC}(p) - (K_3 p \theta_{mC}(p) + K_1 \varepsilon(p)) \frac{1}{p(1+Tp)} = \theta_{mC}(p) - \frac{K_3 p}{p(1+Tp)} \theta_{mC}(p) - \frac{K_1}{p(1+Tp)} \varepsilon(p).$$

$$\text{On a alors } \varepsilon(p) \left(1 + \frac{K_1}{p(1+Tp)}\right) = \theta_{mC}(p) \left(1 - \frac{K_3}{1+Tp}\right)$$

$$\Leftrightarrow \varepsilon(p) \frac{p(1+Tp) + K_1}{p(1+Tp)} = \theta_{mC}(p) \frac{1+Tp - K_3}{1+Tp}.$$

$$\text{Enfin, } \varepsilon(p) = \theta_{mC}(p) \frac{p(1+Tp - K_3)}{p(1+Tp) + K_1}.$$

Question 7 Exprimer l'erreur de traînage et déterminer la valeur de K_3 permettant l'annuler cette erreur.

Correction

$$\varepsilon_v = \lim_{t \rightarrow \infty} \varepsilon(t) = \lim_{p \rightarrow 0} p \varepsilon(p) = \lim_{p \rightarrow 0} p \frac{p(1+Tp - K_3)}{p(1+Tp) + K_1} \frac{1}{p^2} = \lim_{p \rightarrow 0} \frac{(1+Tp - K_3)}{p(1+Tp) + K_1} = \frac{1 - K_3}{K_1}.$$

Au final, pour annuler l'erreur de traînage, on doit avoir $K_3 = 1$.

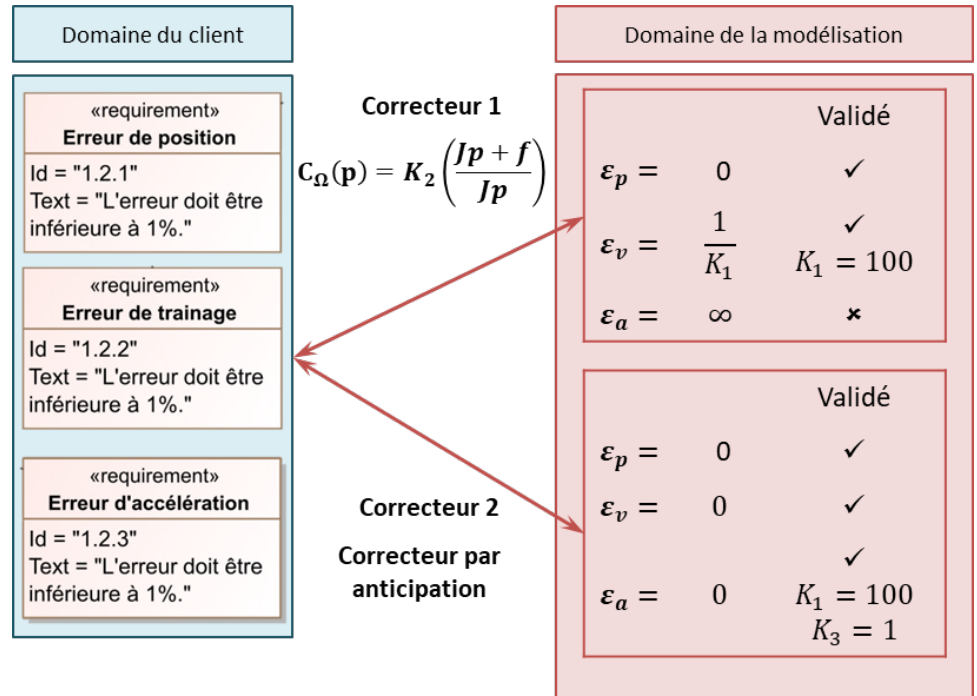
Question 8 Exprimer et déterminer l'erreur d'accélération en prenant les valeurs de K_3 et de K_1 déterminées précédemment. Conclure quant au respect du cahier des charges.

Correction

On a : $\varepsilon_a = \lim_{t \rightarrow \infty} \varepsilon(t) = \lim_{p \rightarrow 0} p \varepsilon(p) = \lim_{p \rightarrow 0} p \frac{p(1+Tp - K_3)}{p(1+Tp) + K_1} \frac{1}{p^3} = \lim_{p \rightarrow 0} \frac{(1+Tp - K_3)}{p(1+Tp) + K_1} \frac{1}{p}$. En prenant $K_3 = 1$ et $K_1 = 100$, on obtient : $\varepsilon_a = \frac{T}{p(1+Tp) + 100} = \frac{33 \times 10^{-3}}{100}$. L'erreur est donc de 33×10^{-5} . Le cahier des charges est donc validé.

Synthèse

Question 9 En utilisant la figure ci-dessous, conclure sur les actions qui ont mené à une validation du cahier des charges.





TD 3

Bateau support de ROV- Sujet

Concours Centrale Supelec – MP 2019.

02 SLCI 03 SLCI 04 SLCI

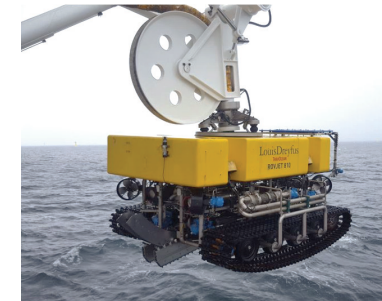


FIGURE 4 – ROV suspendu à la grue portique

Objectif

Vérifier si le bateau support est capable de limiter suffisamment les effets de la houle.

La société TravOcéan souhaite pouvoir travailler dans des conditions de mer difficiles pour limiter au maximum les périodes d'arrêt des chantiers. Pour cela, elle souhaite disposer d'un système de treuillage de ses ROV certifié pour une houle d'amplitude verticale de 5 m. Le tableau suivant présente un extrait du cahier des charges correspondant.

TABLE 1 – Extrait du cahier des charges

Exigence	Critère	Niveau
Id 1.1 : Compensation des mouvements du ROV pour une houle d'amplitude de 5 m et de pulsations comprises entre 0,5 rad s ⁻¹ à 1,7 rad s ⁻¹	Amplitude verticale du ROVmaximale	< 1 m pour 5 m d'amplitude de houle
Id 1.2 : Mise en tension du câble	Temps de réponse, $t_{r5\%}$	< 3 s

Une étude expérimentale en bassin de carène a permis d'obtenir un modèle de comportement de l'ensemble $S = \{\text{bateau} + \text{portique} + \text{ROV}\}$ suivant l'axe vertical, sous l'effet de la houle, au point d'ancrage du ROV sur la grue portique.

La fonction de transfert de l'ensemble S est $B(p) = \frac{Y_S(p)}{Y_{\text{vague}}(p)}$, avec $Y_S(p)$ la transformée

de Laplace de la variation du déplacement vertical du point d'ancrage du ROV et $Y_{\text{vague}}(p)$ la transformée de Laplace de la variation du déplacement de la surface de l'eau à la verticale du point d'ancrage du ROV.

Question 1 Rappeler la définition du gain en décibel. En déduire la valeur en décibel traduisant l'exigence Id 1.1.

Le tracé du gain de $B(p)$ dans la figure 5.

Question 2 En faisant apparaître le domaine d'utilisation, montrer que le système ne répond pas à l'exigence d'atténuation d'une houle de 5 m.

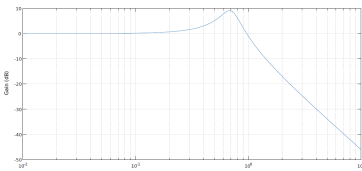


FIGURE 5 – ROV suspendu à la grue portative

Étude du système de compensation de houle PHC (Passiv Heave Compensator)

Objectif

Dimensionner un système passif de compensation de la houle et tester sa conformité aux exigences du cahier des charges.

Pour compenser les effets de la houle, une solution hydropneumatique est alors envisagée. Ce système est un compensateur de houle passif noté PHC (figure 6).

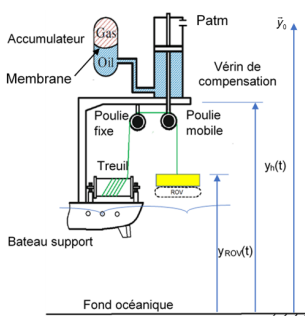


FIGURE 6 – Schéma d'implantation du PHV (non à l'échelle)

Les petites variations de pression $\Delta p_E(t)$ et $\Delta p_G(t)$ autour du point d'équilibre peuvent être définies par $\Delta p_E(t) = p_E(t) - P_{E0}$ et $\Delta p_G(t) = p_G(t) - P_{G0}$. Une étude de mécanique des fluides a permis d'obtenir les relations (1) et (2).

$$\frac{d\Delta p_E(t)}{dt} = \frac{K}{V_E} S \left(\frac{dy_h(t)}{dt} - \frac{dy_{\text{ROV}}(t)}{dt} \right) + \frac{K}{V_E} C_{qR} (\Delta p_G(t) - \Delta p_E(t)) \quad (1)$$

$$\frac{d\Delta p_G(t)}{dt} = \frac{r P_{G0} C_{qR}}{V_{G0}} (\Delta p_E(t) - \Delta p_G(t)) \quad (2)$$

À l'équilibre, le principe fondamental de la statique se traduit par $-Mg + S(P_{E0} - P_{\text{atm}}) = 0$.

Le théorème de la résultante dynamique appliquée à Σ se traduit par $S\Delta p_E(t) = M\ddot{y}_{\text{ROV}}(t) + c(\dot{y}_{\text{ROV}}(t) - \dot{y}_h(t))$ (3).

L'hypothèse du fluide incompressible se traduit par $\frac{d\Delta p_E(t)}{dt} = 0$.

Question 3 Réécrire l'équation (1) en tenant compte de cette hypothèse. Après avoir appliqué les transformées de Laplace aux équations (1) et (2) et en considérant les conditions initiales nulles aux équations précédentes, déterminer l'équation, notée (3), sous la forme : $\Delta P_E(p) = K_1(1 + \tau_1 p)(Y_h(p) - Y_{\text{ROV}}(p))$ (4). Exprimer K_1 et τ_1 en fonction de A , V_{G0} , r , C_{qR} et P_{G0} .

Question 4 Appliquer les transformées de Laplace, en considérant les conditions initiales nulles à l'équation (3) et à l'équation (4). Donner la fonction de transfert :

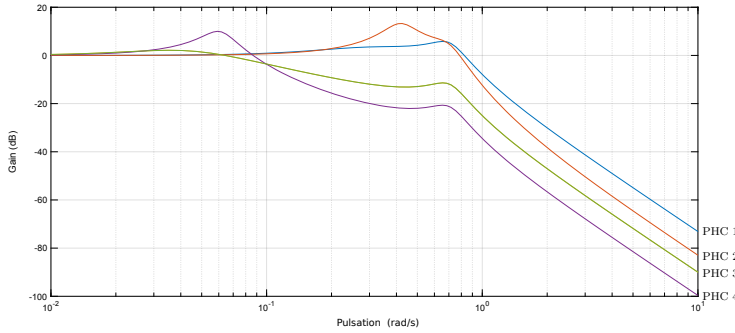
$H(p) = \frac{Y_{\text{ROV}}(p)}{Y_h(p)} = \frac{1 + \tau p}{1 + \frac{2\zeta}{\omega_0}p + \frac{\omega_0^2}{\omega_0^2}}$. Exprimer ω_0 , ζ et τ en fonction des constantes définies précédemment.

On utilisera dans toute la suite la relation $\tau\omega_0 = 2\zeta$.

Question 5 Tracer en vert le diagramme asymptotique du gain de la fonction de transfert du compensateur PHC, $H(p) = \frac{Y_{\text{ROV}}(p)}{Y_h(p)}$, en faisant apparaître ses caractéristiques. Tracer en bleu, sur la même figure, l'allure du gain réel du compensateur. Préciser la valeur du gain maximal.

Question 6 Exprimer la fonction de transfert de l'ensemble {bateau support + ROV + PHC}, $G(p) = \frac{Y_{\text{ROV}}(p)}{Y_{\text{vague}}(p)}$ en fonction de $H(p)$ et $B(p)$. Tracer en rouge l'allure du gain du diagramme de Bode de $G(p)$.

Des réglages pour différentes valeurs de pulsation de la houle ω_c et de gain maximal acceptable du compensateur ont été effectués.



La figure 7 donne les diagrammes du gain de la fonction $G(p)$ de l'ensemble {bateau support + ROV + PHC} pour quatre réglages. Les volumes du gaz V_{G0} correspondant à chaque réglage sont donnés dans le tableau ci-après.

FIGURE 7 – Courbes de gain $G(p)$ pour différents réglages du PHC

Réglage	PHC 1	PHC 2	PHC 3	PHC 4
V_{G0} (m^3)	96	1	52	2

Pour respecter l'exigence Id 1.1, le gain de la fonction de transfert de l'ensemble doit toujours être inférieur à -14 dB .

Question 7 Choisir, en justifiant la réponse, le réglage du compensateur adapté à l'exigence Id 1.1.

Éléments de correction

1. $G_{\text{dB}}(\omega) = 20 \log \left| \frac{Y_S(j\omega)}{Y_{\text{vague}}(j\omega)} \right|$ et $G_{\text{dB}}(\omega) < 20 \log \frac{1}{5} \approx -14 \text{ dB} \quad \forall \omega \in [0, 5; 1, 7] \text{ rad/s.}$
2. ...
3. $K_1 = \frac{S r P_{G0}}{V_{G0}}$ et $\tau = \frac{V_{G0}}{r P_{G0} C_{qR}}$.
4. $\tau = \tau_1 + \frac{\beta}{\gamma K_1}, \omega_n = \sqrt{\frac{\gamma K_1}{\alpha}}, \zeta = \frac{1}{2} \frac{\beta + \gamma K_1 \tau_1}{\sqrt{\alpha \gamma K_1}}$.
5. .
6. .
7. PHC4.



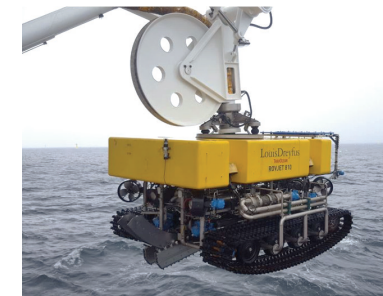


TD 3

Bateau support de ROV- Corrigé

Concours Centrale Supelec – MP 2019.

02 SLCI 03 SLCI 04 SLCI



Introduction

Objectif

Vérifier si le bateau support est capable de limiter suffisamment les effets de la houle.

Question 1 Rappeler la définition du gain en décibel. En déduire la valeur en décibel traduisant l'exigence Id 1.1.

Correction

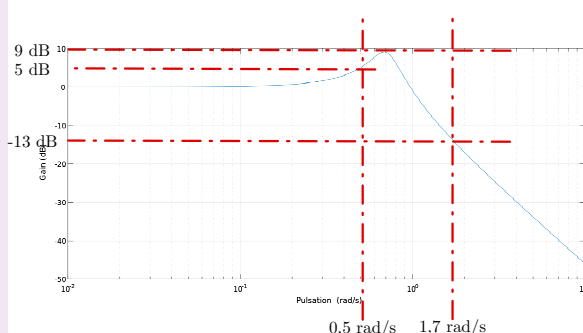
La définition du gain en décibel de la fonction de transfert $B(j\omega)$ est $G_{dB}(\omega) = 20 \log \left| \frac{Y_S(j\omega)}{Y_{vague}(j\omega)} \right|$. L'exigence Id 1.1 impose une amplitude maximale du ROV de 1 m pour 5 m de houle soit :

$$G_{dB}(\omega) < 20 \log \frac{1}{5} \approx -14 \text{ dB } \forall \omega \in [0, 5; 1,7] \text{ rad/s.}$$

Question 2 En faisant apparaître le domaine d'utilisation, montrer que le système ne répond pas à l'exigence d'atténuation d'une houle de 5 m.

Correction

On observe un phénomène de résonance, le système amplifie la houle entre 0,5 et 1 rad/s et l'atténue à une valeur maximale de 13-14 dB pour 1,7 rad/s. Le système ne répond donc pas à l'exigence d'atténuation d'une houle de 5 m.



Étude du système de compensation de houle PHC (Passiv Heave Compensator)

Objectif

Dimensionner un système passif de compensation de la houle et tester sa conformité aux exigences du cahier des charges.

Question 3 Réécrire l'équation (1) en tenant compte de cette hypothèse. Après avoir appliqué les transformées de Laplace aux équations (1) et (2) et en considérant les conditions initiales nulles aux équations précédentes, déterminer l'équation, notée (3), sous la forme : $\Delta P_E(p) = K_1(1 + \tau_1 p)(Y_h(p) - Y_{ROV}(p))$ (4). Exprimer K_1 et τ_1 en fonction de A , V_{G0} , r , C_{qR} et P_{G0} .

Correction

On écrit les équations (1) et (2) dans le domaine de Laplace en tenant compte de l'hypothèse de fluide incompressible :

$$\begin{aligned} Sp(Y_h(p) - Y_{ROV}(p)) + C_{qR}(\Delta P_G(p) - \Delta P_E(p)) &= 0, \\ \frac{rP_{G0}C_{qR}}{V_{G0}}(\Delta P_E(p) - \Delta P_G(p)) &= p\Delta P_G(t). \end{aligned} \quad (0.1)$$

L'équation (2) donne :

$$\begin{aligned} \Delta P_G(t) \left(p + \frac{rP_{G0}C_{qR}}{V_{G0}} \right) &= \frac{rP_{G0}C_{qR}}{V_{G0}} \Delta P_E(p), \\ \Delta P_G(t) &= \frac{rP_{G0}C_{qR}}{pV_{G0} + rP_{G0}C_{qR}} \Delta P_E(p). \end{aligned}$$

En remplaçant dans (1), on obtient :

$$\begin{aligned} Sp(Y_h(p) - Y_{ROV}(p)) + C_{qR} \left(\frac{rP_{G0}C_{qR}}{pV_{G0} + rP_{G0}C_{qR}} \Delta P_E(p) - \Delta P_E(p) \right) &= 0, \\ Sp(Y_h(p) - Y_{ROV}(p)) &= C_{qR} \left(1 - \frac{rP_{G0}C_{qR}}{pV_{G0} + rP_{G0}C_{qR}} \right) \Delta P_E(p), \\ \Delta P_E(p) &= \frac{Sp}{C_{qR}} \frac{pV_{G0} + rP_{G0}C_{qR}}{pV_{G0}} (Y_h(p) - Y_{ROV}(p)), \\ \Delta P_E(p) &= \frac{S}{C_{qR}} \frac{rP_{G0}C_{qR}}{V_{G0}} \left(\frac{V_{G0}}{rP_{G0}C_{qR}} p + 1 \right) (Y_h(p) - Y_{ROV}(p)). \end{aligned}$$

Enfin, on obtient :

$$\Delta P_E(p) = \frac{SrP_{G0}}{V_{G0}} \left(\frac{V_{G0}}{rP_{G0}C_{qR}} p + 1 \right) (Y_h(p) - Y_{ROV}(p)).$$

Par identification :

$$K_1 = \frac{SrP_{G0}}{V_{G0}} \text{ et } \tau = \frac{V_{G0}}{rP_{G0}C_{qR}}.$$

Question 4 Appliquer les transformées de Laplace, en considérant les conditions

initiales nulles à l'équation (3) et à l'équation (4). Donner la fonction de transfert :

$$H(p) = \frac{Y_{\text{ROV}}(p)}{Y_h(p)} = \frac{1 + \tau p}{1 + \frac{2\zeta}{\omega_0}p + \frac{p^2}{\omega_0^2}}. \text{ Exprimer } \omega_0, \zeta \text{ et } \tau \text{ en fonction des constantes}$$

définies précédemment.

Correction

La transformée de Laplace de (3) est :

$$\alpha p^2 Y_{\text{ROV}}(p) + \beta p (Y_{\text{ROV}}(p) - Y_h(p)) = \gamma \Delta P_E(p).$$

En utilisant (4), on obtient :

$$\begin{aligned} \alpha p^2 Y_{\text{ROV}}(p) + \beta p (Y_{\text{ROV}}(p) - Y_h(p)) &= \gamma K_1 (\tau_1 p + 1) (Y_h(p) - Y_{\text{ROV}}(p)), \\ (\alpha p^2 + \beta p + \gamma K_1 (\tau_1 p + 1)) Y_{\text{ROV}}(p) &= (\gamma K_1 (\tau_1 p + 1) + \beta p) Y_h(p). \end{aligned}$$

On obtient :

$$\begin{aligned} H(p) &= \frac{\gamma K_1 (\tau_1 p + 1) + \beta p}{\alpha p^2 + \beta p + \gamma K_1 (\tau_1 p + 1)}, \\ H(p) &= \frac{\gamma K_1 + (\gamma K_1 \tau_1 + \beta)p}{\alpha p^2 + (\beta + \gamma K_1 \tau_1)p + K_1 \gamma}. \end{aligned}$$

Donc :

$$H(p) = \frac{1 + \frac{\gamma K_1 \tau_1 + \beta}{K_1 \gamma} p}{1 + \frac{\beta + \gamma K_1 \tau_1}{K_1 \gamma} p + \frac{\alpha}{K_1 \gamma} p^2}.$$

Par identification, on obtient :

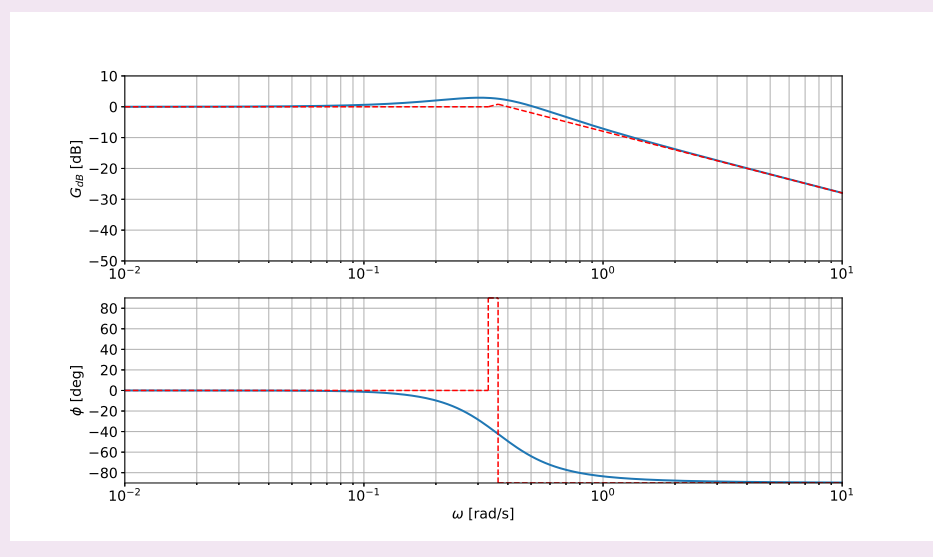
$$\tau = \tau_1 + \frac{\beta}{\gamma K_1} ; \quad \omega_n = \sqrt{\frac{\gamma K_1}{\alpha}} ; \quad \zeta = \frac{1}{2} \frac{\beta + \gamma K_1 \tau_1}{\sqrt{\alpha \gamma K_1}}.$$

Question 5 Tracer en vert le diagramme asymptotique du gain de la fonction de transfert du compensateur PHC, $H(p) = \frac{Y_{\text{ROV}}(p)}{Y_h(p)}$, en faisant apparaître ses caractéristiques. Tracer en bleu, sur la même figure, l'allure du gain réel du compensateur. Préciser la valeur du gain maximal.

Correction

Diagrammes de Bode de $H(p)$. On identifie 2 pulsations caractéristiques : $\omega_1 = 1/\tau \approx 0,33$ rad/s et $\omega_n = 0,364$ rad/s. On verra apparaître un phénomène de résonance à la pulsation $\omega_r = \omega_0 \sqrt{1 - 2\zeta^2}$ car $\zeta = 0,55 < \sqrt{2}/2$. La résonance sera toutefois faible.

ω	$\text{BF } \omega \ll \omega_1$	$\text{MF } \omega_1 \ll \omega \ll \omega_n$	$\text{HF } \omega_n \ll \omega$
$H(j\omega)$	1	$\tau j\omega$	$\frac{\tau\omega_n^2}{j\omega}$
G_{dB}	0	$20 \log \tau + 20 \log \omega$	$20 \log(\tau\omega_n^2) - 20 \log \omega$
ϕ	0	90°	-90°

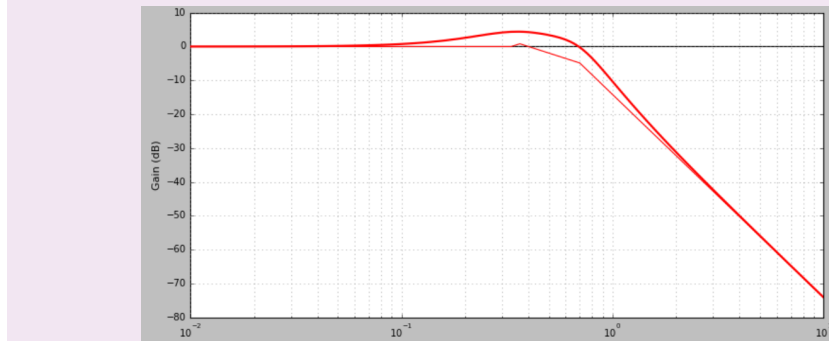


La valeur du gain maxi est de +3 dB (due au premier ordre au numérateur, l'influence du dénominateur est négligeable car la résonance est faible).

Question 6 Exprimer la fonction de transfert de l'ensemble {bateau support + ROV + PHC}, $G(p) = \frac{Y_{\text{ROV}}(p)}{Y_{\text{vague}}(p)}$ en fonction de $H(p)$ et $B(p)$. Tracer en rouge l'allure du gain du diagramme de Bode de $G(p)$.

Correction

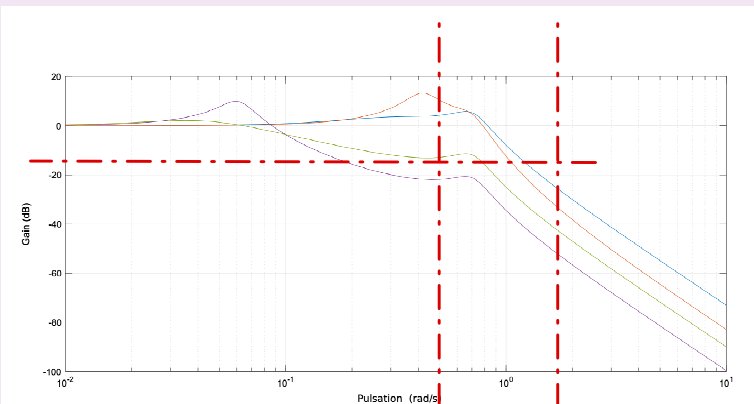
On a la relation $G(p) = B(p)H(p)$.



Question 7 Choisir, en justifiant la réponse, le réglage du compensateur adapté à l'exigence Id 1.1.

Correction

Le réglage de PHC 4 est celui qui respecte le mieux l'exigence Id1.1.



TD 4

Tour en fosse utilisé pour le reprofilage des roues ferroviaires – Asservissement du porte-outil– Sujet

Concours Centrale Supelec – PSI 2018.

08 SLCI 15 SLCI

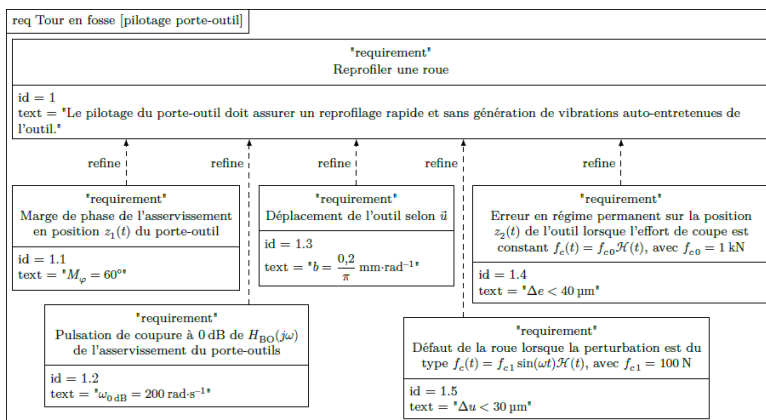
Modélisation du mouvement pour la commande

Objectif

Modéliser le comportement dynamique de l'outil et du porte-outil, puis étudier une commande en position $z_1(t)$ comprenant un correcteur proportionnel.

Le système composé de l'outil et du porte-outil est modélisé sur la figure 9. Le porte-outil, de masse $m_1 = 5522 \text{ kg}$, est considéré indéformable et en liaison glissière de direction \vec{z}_0 avec le bâti. Une chaîne de motorisation électrique permet de déplacer le porte-outil et une structure de commande associée permet d'asservir la position $z_1(t)$ par rapport à une position de référence. La chaîne de motorisation exerce une force motrice $\vec{f}_m(t) = f_m(t)\vec{z}_0$ sur le porte-outil.

La cahier des charges est donné sur la figure suivante.



Les positions du porte-outil et du point C par rapport à leur position de référence sont respectivement paramétrées par $z_1(t)\vec{z}_0$ et $z_2(t)\vec{z}_0$, avec $z_1(t)\vec{z}_0$ et $z_2(t)\vec{z}_0$ des grandeurs algébriques (figure 9). Les conditions initiales sont toujours supposées nulles.

Le théorème de la résultante dynamique appliqué au porte-outil puis à l'outil permet d'obtenir les deux relations suivantes :

$$m_1 \ddot{z}_1(t) + \lambda \dot{z}_1(t) + K z_1(t) = \lambda \dot{z}_2(t) + K z_2(t) + f_m(t)$$

$$m_2 \ddot{z}_2(t) + \lambda \dot{z}_2(t) + K z_2(t) = \lambda \dot{z}_1(t) + K z_1(t) + f_c(t)$$

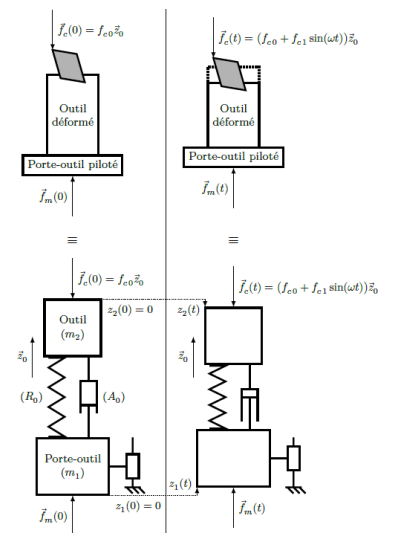


FIGURE 9 – Modèle de déformation de l'outil avec le porte-outil piloté

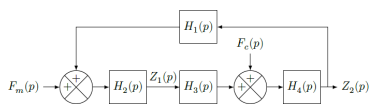


FIGURE 10 – Modèle de l'outil et du porte-outil

Le modèle correspondant est représenté par le schéma bloc de la figure 10.

Question 1 Exprimer les fonctions $H_1(p)$, $H_2(p)$, $H_3(p)$ et $H_4(p)$ en fonction de K , λ , m_1 et m_2 .

Le modèle de la figure 10 est réduit au modèle équivalent de la figure 11.

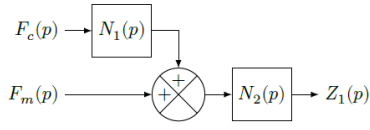


FIGURE 11 – Modèle équivalent

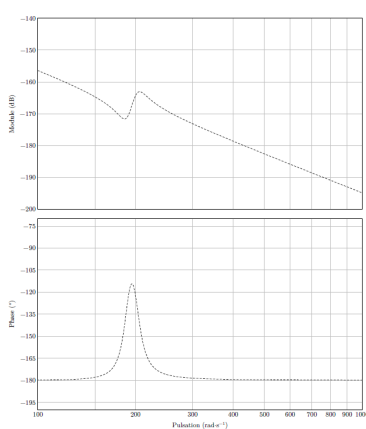


FIGURE 12 – Modèle de synthèse de la régulation en position $z_1(t)$ du porte-outil

Question 2 Exprimer $N_1(p)$ et $N_2(p)$ en fonction de $H_1(p)$, $H_2(p)$, $H_3(p)$ et $H_4(p)$.

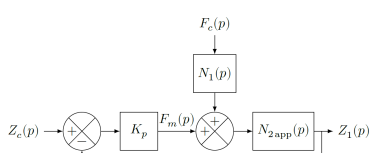
Question 3 Montrer que $N_2(p)$ peut s'écrire sous la forme $N_2(p) = A \frac{p^2 + 2\xi_1\omega_1 p + \omega_1^2}{p^2 (p^2 + 2\xi_2\omega_2 p + \omega_2^2)}$. Exprimer ξ_1 , ξ_2 , ω_1 , ω_2 et A en fonction de m_1 , m_2 , λ et K .

Le diagramme de Bode associé à la fonction de transfert $N_2(p)$ est représenté ci-contre.

Question 4 Compléter ce diagramme par les tracés asymptotiques en module et en phase, et conclure sur la cohérence du diagramme donné.

Question 5 Au regard des valeurs numériques, montrer que la fonction de transfert $N_2(p)$ peut être approchée par la fonction $N_{2app}(p) = \frac{A}{p^2}$. En utilisant une couleur différente, tracer le diagramme de Bode associé à la fonction de transfert $N_{2app}(p)$ sur le document réponse et conclure sur la validité de ce modèle approché.

Le modèle approché ($N_{2app}(p)$) est retenu pour la suite de l'étude. Le schéma bloc modélisant la régulation de la position $z_1(t)$ est donné en figure 12, en considérant un correcteur proportionnel de gain K_p .



Question 6 Justifier qu'une correction proportionnelle ne permet pas de respecter l'ensemble des critères du diagramme des exigences de la figure 8.

Analyse de l'influence d'un paramètre

On a d'une part $Q(p) = Q_c(p) - Z_2(p)H_r(p)$.

D'autre part, la quantité de matière enlevée est donnée par $q(t) = q_c(t) - z_2(t) + z_2(t - \tau)$ où τ est la durée nécessaire à la roue pour effectuer un tour complet.

Question 7 Déterminer $H_r(p)$ en fonction de τ .

Le schéma-blocs retenu est donné ci-contre.

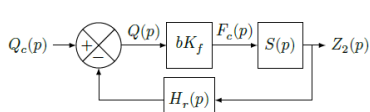


FIGURE 13 – Modèle équivalent de la chaîne d'asservissement complète

La figure 14 représente le diagramme de Bode de la fonction de transfert en boucle ouverte du système modélisé figure 13, avec $b = \frac{5 \times 10^{-2}}{\pi} \text{ mm rad}^{-1}$

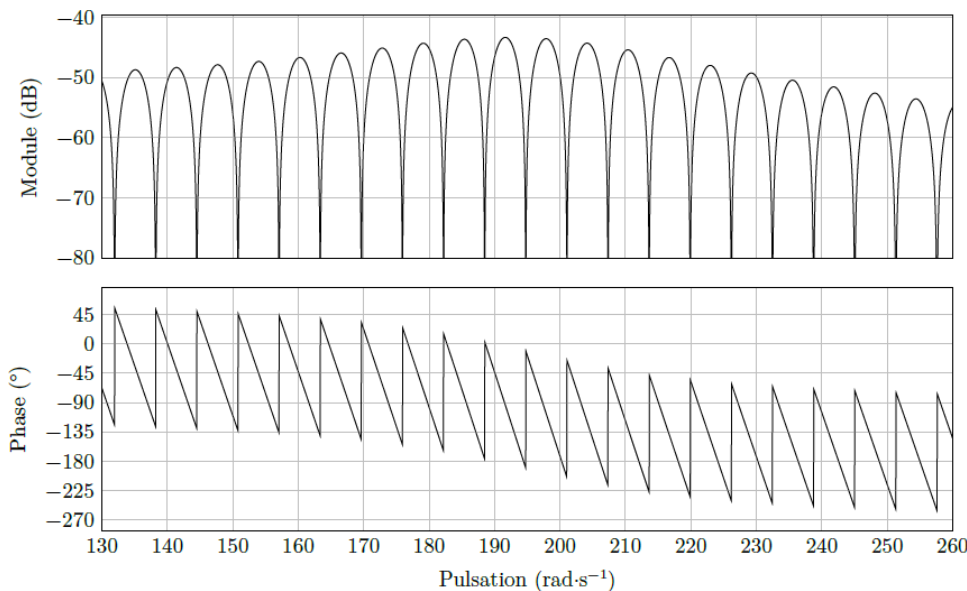


FIGURE 14 – Diagramme de Bode de la boucle ouverte du schéma-blocs

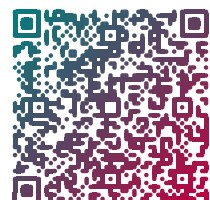
Les « zéros de transmission » d'une fonction de transfert $H(p)$ correspondent aux pulsations ω pour lesquelles $H(j\omega)$ est nul.

Question 8 Préciser l'expression de la fonction de transfert en boucle ouverte de la figure figure 13 puis vérifier la cohérence du diagramme de Bode de la figure 14 en analysant les « zéros de transmission ».

Question 9 Déterminer un ordre de grandeur du paramètre b permettant de conserver la stabilité du système en boucle fermée. Conclure sur la compatibilité de cette valeur maximale avec un bon amortissement de l'asservissement.

Éléments de correction

1. $H_1(p) = \lambda p + K, H_2(p) = \frac{1}{m_1 p^2 + \lambda p + K}, H_3(p) = \lambda p + K, H_4(p) = \frac{1}{m_2 p^2 + \lambda p + K}.$
2. $N_1(p) = H_1(p)H_4(p)$ et $N_2(p) = \frac{H_2(p)}{1 - H_1(p)H_2(p)H_3(p)H_4(p)}.$
3. $\omega_1^2 = \frac{K}{m_2}, \omega_2^2 = K \frac{m_1 + m_2}{m_1 m_2}, \xi_1 = \frac{\lambda}{2\sqrt{m_2 K}}$ et $\xi_2 = \lambda \frac{\sqrt{m_1 + m_2}}{2\sqrt{K m_1 m_2}}.$
4. .
5. $A = 1,87 \cdot 10^{-4}.$
6. .
7. $H_r(p) = 1 - e^{-\tau p}.$
8. .
9. $b_{\lim} = 2,83 \text{ mm rad}^{-1}.$



TD 4

Tour en fosse utilisé pour le reprofilage des roues ferroviaires – Asservissement du porte-outil– Corrigé

Concours Centrale Supelec – PSI 2018.

09 SLCI 11 SLCI



Modélisation du mouvement pour la commande

Question 1 Exprimer les fonctions $H_1(p)$, $H_2(p)$, $H_3(p)$ et $H_4(p)$ en fonction de K , λ , m_1 et m_2 .

Correction

D'après le schéma-blocs $Z_1(p) = H_2(p)(F_m(p) + H_1(p)Z_2(p))$. D'après la première équation différentielle, on a : $m_1p^2Z_1(p) + \lambda pZ_1(p) + KZ_1(p) = \lambda pZ_2(p) + KZ_2(p) + F_m(p) \Leftrightarrow Z_1(p)(m_1p^2 + \lambda p + K) = Z_2(p)(\lambda p + K) + F_m(p) \Leftrightarrow Z_1(p) = \frac{Z_2(p)(\lambda p + K) + F_m(p)}{m_1p^2 + \lambda p + K}$. On a donc par identification $H_2(p) = \frac{1}{m_1p^2 + \lambda p + K}$ et $H_1(p) = \lambda p + K$.

D'après le schéma-blocs $Z_2(p) = H_4(p)(F_c(p) + H_3(p)Z_1(p))$. D'après la seconde équation différentielle, $m_2p^2Z_2(p) + \lambda pZ_2(p) + KZ_2(p) = \lambda pZ_1(p) + KZ_1(p) + F_c(p) \Leftrightarrow Z_2(p)(m_2p^2 + \lambda p + K) = Z_1(p)(\lambda p + K) + F_c(p) \Leftrightarrow Z_2(p) = \frac{Z_1(p)(\lambda p + K) + F_c(p)}{m_2p^2 + \lambda p + K}$.

On a donc par identification $H_4(p) = \frac{1}{m_2p^2 + \lambda p + K}$ et $H_3(p) = \lambda p + K$.

Au final,

$$H_1(p) = \lambda p + K \quad H_2(p) = \frac{1}{m_1p^2 + \lambda p + K} \quad H_3(p) = \lambda p + K \quad H_4(p) = \frac{1}{m_2p^2 + \lambda p + K}$$

Question 2 Exprimer $N_1(p)$ et $N_2(p)$ en fonction de $H_1(p)$, $H_2(p)$, $H_3(p)$ et $H_4(p)$.

Correction

En utilisant le premier modèle, on avait :
$$\begin{cases} Z_1(p) = H_2(p)(F_m(p) + H_1(p)Z_2(p)) \\ Z_2(p) = H_4(p)(F_c(p) + H_3(p)Z_1(p)) \end{cases}$$

Ainsi, $Z_1(p) = H_2(p)(F_m(p) + H_1(p)(H_4(p)(F_c(p) + H_3(p)Z_1(p))))$
 $= H_2(p)F_m(p) + H_1(p)H_2(p)H_4(p)F_c(p) + H_1(p)H_2(p)H_3(p)H_4(p)Z_1(p)$
 $\Leftrightarrow Z_1(p)(1 - H_1(p)H_2(p)H_3(p)H_4(p)) = H_2(p)(F_m(p) + H_1(p)H_4(p)F_c(p))$.

En utilisant le schéma-blocs, $Z_1(p) = (F_c(p)N_1(p) + F_m(p))N_2(p)$. Par identification, on obtient $N_1(p) = H_1(p)H_4(p)$ et $N_2(p) = \frac{H_2(p)}{1 - H_1(p)H_2(p)H_3(p)H_4(p)}$.

Question 3 Montrer que $N_2(p)$ peut s'écrire sous la forme $N_2(p) = A \frac{p^2 + 2\xi_1\omega_1 p + \omega_1^2}{p^2(p^2 + 2\xi_2\omega_2 p + \omega_2^2)}$.

Exprimer ξ_1 , ξ_2 , ω_1 , ω_2 et A en fonction de m_1 , m_2 , λ et K .

Correction

$$\begin{aligned}
N_2(p) &= \frac{H_2(p)}{1 - H_1(p)H_2(p)H_3(p)H_4(p)} = \frac{\frac{1}{m_1 p^2 + \lambda p + K}}{1 - (\lambda p + K) \frac{1}{m_1 p^2 + \lambda p + K} (\lambda p + K) \frac{1}{m_2 p^2 + \lambda p + K}} \\
&= \frac{1}{(m_1 p^2 + \lambda p + K) - \frac{(\lambda p + K)^2}{m_2 p^2 + \lambda p + K}} = \frac{m_2 p^2 + \lambda p + K}{(m_1 p^2 + \lambda p + K)(m_2 p^2 + \lambda p + K) - (\lambda p + K)^2} \\
&= \frac{m_2 p^2 + \lambda p + K}{m_2 m_1 p^4 + \lambda m_1 p^3 + K m_1 p^2 + \lambda m_2 p^3 + \lambda^2 p^2 + \lambda p K + K m_2 p^2 + K \lambda p + K^2 - \lambda^2 p^2 - K^2 - 2 \lambda p K} \\
&= \frac{m_2 p^2 + \lambda p + K}{m_2 m_1 p^4 + \lambda m_1 p^3 + K m_1 p^2 + \lambda m_2 p^3 + K m_2 p^2} = \frac{m_2 p^2 + \lambda p + K}{p^2 (m_1 m_2 p^2 + (m_1 + m_2) \lambda p + K (m_1 + m_2))} \\
&= \frac{m_2 \left(p^2 + \frac{\lambda}{m_2} p + \frac{K}{m_2} \right)}{p^2 m_1 m_2 \left(p^2 + \frac{m_1 + m_2}{m_1 m_2} \lambda p + K \frac{m_1 + m_2}{m_1 m_2} \right)}. \\
\text{Par identification, on a : } A &= \frac{1}{m_1}, \omega_1^2 = \frac{K}{m_2}, 2\xi_1\omega_1 = \frac{\lambda}{m_2} \text{ et } \xi_1 = \frac{\lambda}{2\omega_1 m_2} = \frac{\lambda}{2\sqrt{Km_2}} =, \\
\omega_2^2 &= K \frac{m_1 + m_2}{m_1 m_2}, 2\xi_2\omega_2 = \lambda \frac{m_1 + m_2}{m_1 m_2} \text{ et } \xi_2 = \frac{\lambda}{2} \sqrt{\frac{m_1 + m_2}{m_1 m_2}}. \\
\text{On a donc } \xi_1 &= \frac{\lambda}{2\sqrt{m_2 K}} \text{ et } \xi_2 = \lambda \frac{\sqrt{m_1 + m_2}}{2\sqrt{Km_1 m_2}}.
\end{aligned}$$

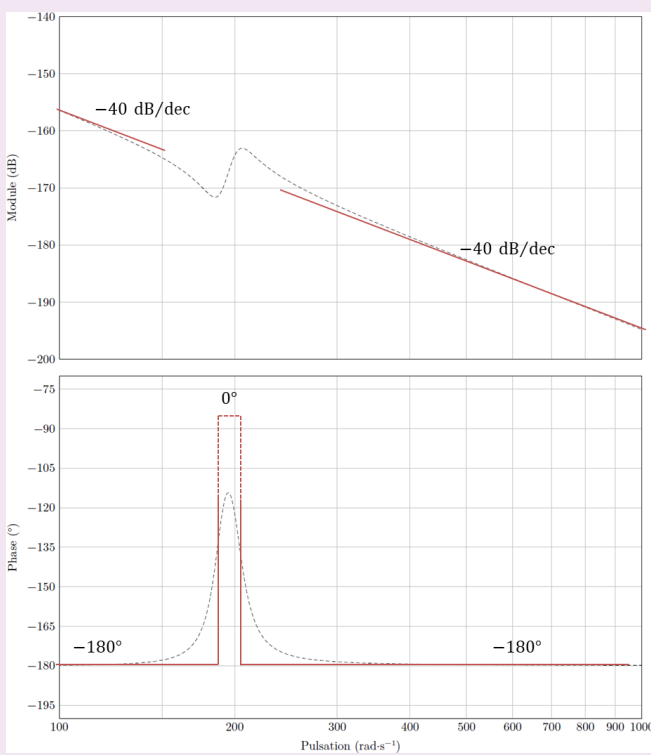
Le diagramme de Bode associé à la fonction de transfert $N_2(p)$ est représenté ci-contre.

Question 4 Compléter ce diagramme par les tracés asymptotiques en module et en phase, et conclure sur la cohérence du diagramme donné.

Correction

D'après le diagramme asymptotique donné, on a nécessairement $\omega_1 < \omega_2$. On peut dresser un tableau des variations à partir de la fonction de transfert $N_2(p)$.

	ω_1		
	ω_1	ω_1	ω_1
$\frac{A}{p^2}$	-40 dB/dec	-40 dB/dec	-40 dB/dec
$p^2 + 2\xi_1\omega_1 p + \omega_1^2$	0 dB/dec	40 dB/dec	40 dB/dec
$\frac{1}{p^2 + 2\xi_2\omega_2 p + \omega_2^2}$	0 dB/dec	0 dB/dec	-40 dB/dec
$20 \log N_2(p) $	-40 dB/dec	0 dB/dec	-40 dB/dec
$\text{Arg}(N_2(p))$	-180°	0°	-180°



Question 5 Au regard des valeurs numériques, montrer que la fonction de transfert $N_2(p)$ peut être approchée par la fonction $N_{2\text{app}}(p) = \frac{A}{p^2}$. En utilisant une couleur différente, tracer le diagramme de Bode associé à la fonction de transfert $N_{2\text{app}}(p)$ sur le document réponse et conclure sur la validité de ce modèle approché.

Correction

Si le système n'est pas sollicité par des pulsations comprises entre 150 et 250 rad s⁻¹, on peut modéliser $N_2(p)$ par un double intégrateur. Le gain dB est donc $20 \log A - 20 \log \omega^2$.

Pour $\omega = 500$ rad s⁻¹ on a $20 \log A - 20 \log 500^2 = -182,5 \Rightarrow \log A = \frac{20 \log 500^2 - 182,5}{20}$ et $A = 1,87 \cdot 10^{-4}$.

Question 6 Justifier qu'une correction proportionnelle ne permet pas de respecter l'ensemble des critères du diagramme des exigences de la figure 8.

Correction

Dans le cas, la FTBO est de classe 2.

- **req 1.1** : $M\varphi = 60^\circ$: impossible à respecter la phase sera toujours de -180° .
- **req 1.2** : $\omega_{0\text{dB}} = 200$ rad s⁻¹ : critère non respecté (cf diagramme de Bode).
- **req 1.4** : erreur en régime permanent : $\Delta c < 40 \mu\text{m}$ pour un échelon d'amplitude $f_{c0} = 1 \text{kN}$: critère non respecté (pas d'intégrateur avant la perturbation).
- **req 1.5** : défaut de la roue $\Delta u < 30 \mu\text{m}$ lorsque la perturbation est sinusoïdale.

La correction proportionnelle ne permet donc pas de respecter tous les critères du cahier des charges.

Analyse de l'influence d'un paramètre

On a d'une part $Q(p) = Q_c(p) - Z_2(p)H_r(p)$.

D'un point de vue numérique, $K_f = 1,5 \times 10^9 \text{ N m}^{-2}$ et $\tau = 1 \text{ s}$.

D'autre part, la quantité de matière enlevée est donnée par $q(t) = q_c(t) - z_2(t) + z_2(t - \tau)$ où τ est la durée nécessaire à la roue pour effectuer un tour complet.

Question 7 Déterminer $H_r(p)$ en fonction de τ .

Correction

D'après le schéma-blocs, $Q(p) = Q_c(p) - Z_2(p)H_r(p)$. D'après les équations données et en utilisant le théorème du retard, on a $Q(p) = Q_c(p) - Z_2(p) + Z_2(p)e^{-\tau p} = Q_c(p) - Z_2(p)(1 - e^{-\tau p})$. En conséquence, $H_r(p) = 1 - e^{-\tau p}$.

Le schéma-blocs retenu est donné ci-contre.

Question 8 Préciser l'expression de la fonction de transfert en boucle ouverte de la figure [figure 13](#) puis vérifier la cohérence du diagramme de Bode de la [figure 14](#) en analysant les « zéros de transmission ».

Correction

$$\text{FTBO}(p) = bK_f S(p)H_r(p) = \frac{bK_f}{K + \lambda p + m_2 p^2} (1 - e^{-\tau p}) = H_2(p) \cdot H_r(p).$$

On a $G_{dB}(\omega) = G_{dB2}(\omega) + G_{dBr}(\omega)$.

$$G_{dBr}(\omega) = 20 \log |1 - e^{-j\tau\omega}| = 20 \log \sqrt{(1 - \cos(-\tau\omega))^2 + (\sin(-\tau\omega))^2} = 20 \log \sqrt{2 - 2 \cos(\tau\omega)}.$$

On a donc :

$$\blacktriangleright \text{ pour } \omega = \frac{k2\pi}{\tau} \text{ avec } k \in \mathbb{Z}^* \text{ et } G_{dBr}(\omega) \rightarrow -\infty;$$

$$\blacktriangleright \text{ pour } \omega = \frac{\pi + k2\pi}{\tau} \text{ avec } k \in \mathbb{Z}^* \text{ et } G_{dBr}(\omega) = 20 \log 2.$$

Le diagramme en gain montre alors l'addition d'un gain du second ordre et d'un gain périodique. Les « zéros de transmission » correspondent aux pulsations $\omega = \frac{k2\pi}{\tau}$.

Pour la phase, $\varphi_{BO}(\omega) = \varphi_2(\omega) + \arg(1 - \cos(-\tau\omega) - j \sin(-\tau\omega))$. Or $1 - \cos(-\tau\omega) = 1 - \cos(\tau\omega) \geq 0$. On a donc $\varphi_{BO} = \varphi_2(\omega) + \arctan\left(\frac{\sin(\tau\omega)}{1 - \cos(\tau\omega)}\right)$.

Le diagramme de phase est la somme d'une phase d'un système du second ordre et d'un signal $\frac{2\pi}{\tau}$ périodique.

Question 9 Déterminer un ordre de grandeur du paramètre b permettant de conserver la stabilité du système en boucle fermée. Conclure sur la compatibilité de cette valeur maximale avec un bon amortissement de l'asservissement.

Correction

Pour garantir la stabilité en BF, il faut assurer un gain négatif en BO. D'après le diagramme de gain, le gain maximal relevé est de 45 dB. Il faudrait donc ajouter un gain supplémentaire b' tel que $20 \log b' = 45$ soit $b' = 10^{45/20} = 177$. Au bilan, on aurait donc $b_{lim} = b'b = 177 \times \frac{5 \cdot 10^{-2}}{\pi} = 2,83 \text{ mm rad}^{-1}$.

Il faudrait déterminer si une augmentation de b réduit l'amortissement de l'asservissement.